

อุปกรณ์และวัสดุทำเนิงานวิจัย



1. อุปกรณ์

1.1 อุปกรณ์อิเล็กทรอนิกส์ต่าง ๆ

1.1.1 ไอซี หมายเลขต่าง ๆ ดังนี้

1.1.1.1	SIL 4049	2	ตัว
1.1.1.2	DM 7490	4	ตัว
1.1.1.3	F 7447	4	ตัว
1.1.1.4	LM 3900	1	ตัว
1.1.1.5	CA 555	1	ตัว
1.1.1.6	F 7400	1	ตัว
1.1.2	ทรานซิสเตอร์ หมายเลข 2 SC 458 ของบริษัท HITACHI	5	ตัว
1.1.3	ไดโอด หมายเลข 1N914	9	ตัว
1.1.4	ตัวเลข 7 ส่วน (7 - segment LED)	4	ตัว
1.1.5	ตัวความต้านทานขนาดต่าง ๆ		
1.1.5.1	1 MΩ $\frac{1}{2}$ W	14	ตัว
1.1.5.2	10 MΩ $\frac{1}{2}$ W	8	ตัว
1.1.5.3	10 KΩ $\frac{1}{2}$ W	6	ตัว
1.1.5.4	27 KΩ $\frac{1}{2}$ W	5	ตัว
1.1.5.5	1 KΩ $\frac{1}{2}$ W	5	ตัว
1.1.5.6	300 Ω $\frac{1}{2}$ W	29	ตัว
1.1.5.7	150 Ω $\frac{1}{2}$ W	12	ตัว

- 1.1.6 ตัวเก็บประจุขนาดต่าง ๆ
- | | | | | |
|---------|---------------|-------|----|-----|
| 1.1.6.1 | 220 μ F | 10 V | 1 | ตัว |
| 1.1.6.2 | 50 μ F | 25 V | 1 | ตัว |
| 1.1.6.3 | 1 μ F | 25 V | 12 | ตัว |
| 1.1.6.4 | 0.058 μ F | 50 V | 8 | ตัว |
| 1.1.6.5 | 0.01 μ F | 400 V | 12 | ตัว |
- 1.1.7 ทัศนความต้านทานชนิดปรับค่าได้ ขนาดต่าง ๆ
- | | | | |
|---------|----------------|---|-----|
| 1.1.7.1 | 1 M Ω | 5 | ตัว |
| 1.1.7.2 | 100 K Ω | 1 | ตัว |
- 1.1.8 Kit power supply 5 โวลต์ 1 ชุด
- 1.1.9 สวิตช์แบบต่าง ๆ
- 1.2 เครื่องมือที่ใช้ในการดำเนินงานวิจัย
- 1.2.1 ออสซิลโลสโคป (Cathode Ray Oscilloscope) Trio แบบ CS 1570
- 1.2.2 เครื่องจ่ายไฟตรง (Regulated DC power supply) Trio แบบ PR - 654
- 1.2.3 เครื่องสร้างสัญญาณ (Oscillator) Trio แบบ AG - 203
- 1.2.4 เครื่องใช้ในการทองจอร์ไฟฟ้าอื่น ๆ เช่น หัวแร้ง, ตะกั่วบัดกรี, แฉกไฟเบอร์กลาสเคลือบทองแดงสำหรับทำแผงวงจรพิมพ์ (Printed circuit board)
2. การดำเนินการวิจัยได้กระทำเป็นขั้นตอนดังนี้
- 2.1 ออกแบบและสร้างภาครับสัญญาณ 50 Hz จากสวิตช์ทดลอง
- 2.2 ออกแบบและสร้างภาคเปลี่ยนสัญญาณที่ได้ให้เป็นพัลส์ (pulse) ที่เหมาะสม
- 2.3 ออกแบบและสร้างภาคนับสัญญาณพัลส์ที่ได้

2.4 ออกแบบและสร้างภาคแสดงผลเป็นดิจิทัล(Digital) และอนาล็อก (Analog)

2.5 ออกแบบและสร้างภาคไทมมิ่ง(Timing) และสวิชชิง(Switching) สำหรับควบคุมการทำงานของเครื่องมือ

2.6 สร้างกรง(Activity cage) ที่ปลอดภัยเหมาะสมในการรับสัญญาณจากสัตว์ทดลอง

2.7 ทดลองการใช้งานและประเมินคุณภาพของเครื่องมือที่สร้างขึ้น

2.1 การออกแบบและสร้างภาครับสัญญาณ 50 Hz จากสัตว์ทดลอง

คุณสมบัติในการทำงานของเครื่องมือบันทึกพฤติกรรม การเคลื่อนไหวในสัตว์ทดลอง ย่อมขึ้นอยู่กับ การเลือกใช้ภาครับสัญญาณที่เกิดขึ้นจากการเคลื่อนไหวของสัตว์ทดลอง ซึ่งภาครับสัญญาณดังกล่าวอาจมีได้หลายชนิด เช่น การใช้แรงดันสะเทือน หรือใช้การเคลื่อนที่ คัดลำแสงที่ส่องตกลงบนโฟโตเซลล์ เป็นต้น ดังได้กล่าวไว้แล้วในบทที่ 1 ในการออกแบบ เพื่อสร้างเครื่องมือในรายงานฉบับนี้ ผู้วิจัยได้เลือกใช้วิธีรับสัญญาณแม่เหล็กไฟฟ้า 50 Hz จากการสัมผัสของสัตว์ทดลอง แล้วนำสัญญาณนั้นมาแปลงรูปเพื่อให้เหมาะสมแก่การบันทึกที่หนึ่ง ดังนั้นการรับสัญญาณเช่นนี้จึงอาจเรียกได้ว่าเป็น "ระบบสัมผัส" ระบบสัมผัสมีใช้กันใน เครื่องอิเล็กทรอนิกส์ทั่ว ๆ ไปมีอยู่มากมายหลายแบบ เช่น ระบบที่ใช้ในลิฟท์(lift) ซึ่งมีหลักการคือจะมีวงจรสร้างความถี่สูงวงจรหนึ่ง ซึ่งค่าความถี่ที่สร้างขึ้นในส่วนนี้จะขึ้นอยู่กับค่าการเก็บประจุของตัวเก็บประจุ(Capacitor) ภายในวงจร เมื่อเราสัมผัส ส่วนที่เหมาะสมในวงจรจะทำให้ค่าความจุของการเก็บประจุที่ในวงจรที่สร้างความถี่สูง เปลี่ยนไป ซึ่งจะเป็นผลให้ค่าความถี่ที่สร้างขึ้นเปลี่ยนไปด้วย เมื่อนำค่าความถี่ที่เปลี่ยน ไปนี้ไป เข้าภาคที่ตรวจจับ (Detector) ก็จะตรวจจับสัญญาณที่เกิดจากการสัมผัสนั้นได้ (6,7) แต่วงจรดังกล่าวมีราคาแพงและยุ่งยาก อีกแบบหนึ่งอาจใช้ทรานซิสเตอร์ (Transistor) (8,9) เป็นตัวรับสัญญาณจากการสัมผัส โดยปล่อยให้ขาเบส(Base) ของทรานซิสเตอร์ว่างไว้ เมื่อเราสัมผัสขาเบส สัญญาณนี้จะเข้าทางขานี้ และทำให้เกิดกระแสคอลเลกเตอร์

absolute maximum ratings

(Notes 1 and 2)

V _{DD} Supply Voltage	-0.5V to +18V
V _{IN} Input Voltage	-0.5V to +18V
V _{OUT} Voltage at Any Output Pin	-0.5V to V _{DD} + 0.5V
T _S Storage Temperature Range	-65°C to +150°C
P _D Package Dissipation	500 mW
T _L Lead Temperature (Soldering, 10 seconds)	300°C

recommended operating conditions

(Note 2)

V _{DD} Supply Voltage	3V to 15V
V _{IN} Input Voltage	0V to 15V
V _{OUT} Voltage at Any Output Pin	0 to V _{DD}
T _A Operating Temperature Range	-55°C to +125°C
	CD4049M, CD4050BM
	CD4049C, CD4050BC
	-40°C to +85°C

dc electrical characteristics CD4049C, CD4050BC (Note 2)

PARAMETER	CONDITIONS	-40°C		25°C			85°C		UNITS
		MIN	MAX	MIN	TYP	MAX	MIN	MAX	
I _{DD} Quiescent Device Current	V _{DD} = 5V		4		0.03	4.0		30	μA
	V _{DD} = 10V		8		0.05	8.0		60	μA
	V _{DD} = 15V		16		0.07	16.0		120	μA
V _{OL} Low Level Output Voltage	V _{IH} = V _{DD} , V _{IL} = 0V, I _O < 1 μA								
	V _{DD} = 5V		0.05		0	0.05		0.05	V
	V _{DD} = 10V		0.05		0	0.05		0.05	V
V _{OH} High Level Output Voltage	V _{IH} = V _{DD} , V _{IL} = 0V, I _O < 1 μA								
	V _{DD} = 5V	4.95		4.95	5		4.95		V
	V _{DD} = 10V	9.95		9.95	10		9.95		V
I _{OL} Low Level Output Current (Note 3)	V _{IH} = V _{DD} , V _{IL} = 0V								
	V _{DD} = 5V, V _O = 0.4V	4.6		4.0	5		3.2		mA
	V _{DD} = 10V, V _O = 0.5V	9.8		8.5	12		6.8		mA
I _{OH} High Level Output Current (Note 3)	V _{IH} = V _{DD} , V _{IL} = 0V								
	V _{DD} = 5V, V _O = 4.6V	-1.0		-0.9	-1.6		-0.77		mA
	V _{DD} = 10V, V _O = 9.5V	-2.1		-1.9	-3.6		-1.5		mA
I _{IN} Input Current	V _{DD} = 15V, V _{IN} = 0V	-0.3		-0.3	-10 ⁻⁵			-1.0	μA
	V _{DD} = 15V, V _{IN} = 15V	0.3		0.3	10 ⁻⁵			1.0	μA

ac electrical characteristics CD4049M/CD4049C

T_A = 25°C, C_L = 50 pF, R_L = 200k, t_r = t_f = 20 ns, unless otherwise specified.

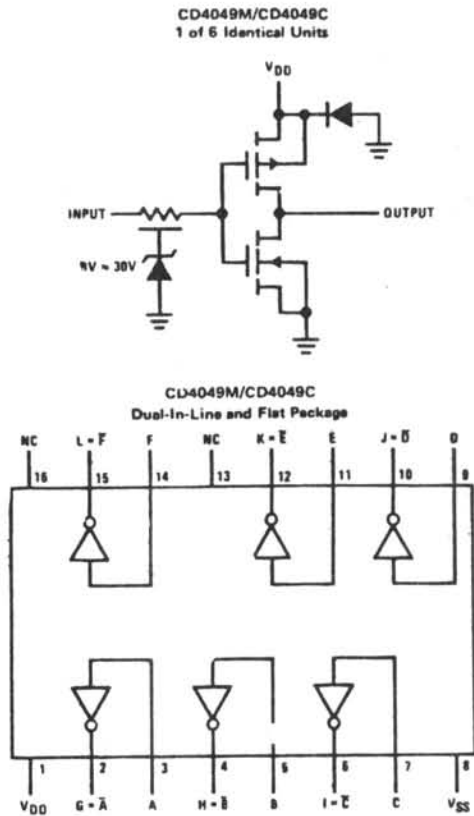
PARAMETER	CONDITIONS	MIN	TYP	MAX	UNITS
t _{PHL} Propagation Delay Time High-to-Low Level	V _{DD} = 5V		30	65	ns
	V _{DD} = 10V		20	40	ns
	V _{DD} = 15V		15	30	ns
t _{PLH} Propagation Delay Time Low-to-High Level	V _{DD} = 5V		45	85	ns
	V _{DD} = 10V		25	45	ns
	V _{DD} = 15V		20	35	ns
t _{THL} Transition Time High-to-Low Level	V _{DD} = 5V		30	60	ns
	V _{DD} = 10V		20	40	ns
	V _{DD} = 15V		15	30	ns
t _{T LH} Transition Time Low-to-High Level	V _{DD} = 5V		60	120	ns
	V _{DD} = 10V		30	55	ns
	V _{DD} = 15V		25	45	ns
C _{IN} Input Capacitance	Any Input		15	22.5	pF

Note 1: "Absolute Maximum Ratings" are those values beyond which the safety of the device cannot be guaranteed; they are not meant to imply that the devices should be operated at these limits. The table of "Recommended Operating Conditions" and "Electrical Characteristics" provides conditions for actual device operation.

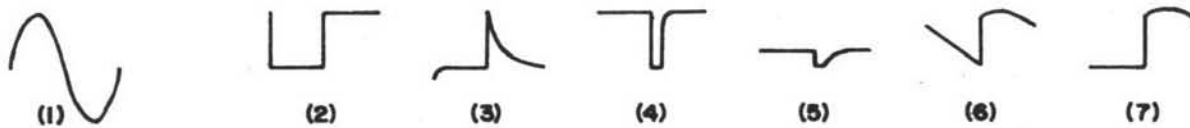
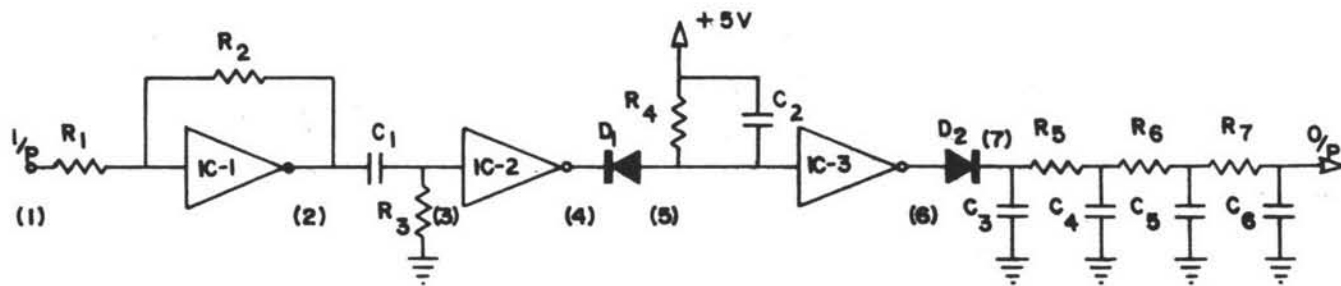
Note 2: V_{SS} = 0V unless otherwise specified.

Note 3: These are peak output current capabilities. Continuous output current is rated at 12 mA maximum. The output current should not be allowed to exceed this value for extended periods of time.

schematic diagrams



รูปที่ 1 แสดง schematic diagrams และ connection diagrams
ของไอซี CD 4049

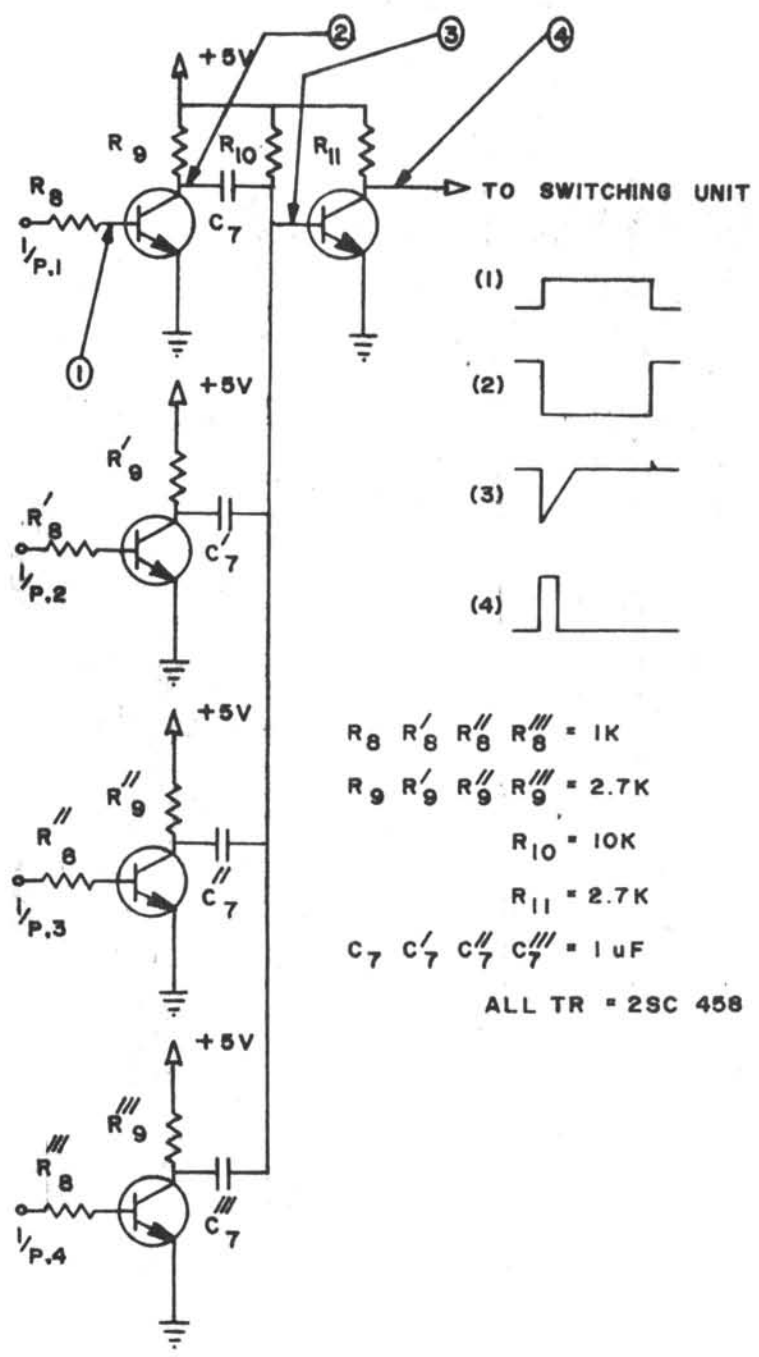


$R_1, R_3, R_4 = 1 \text{ M}\Omega$ $C_1, C_2 = 0.068 \mu\text{F}$ $D_1, D_2 = \text{IN } 914$
 $R_2 = 20 \text{ M}\Omega$ $C_3, C_4, C_5, C_6 = 1 \mu\text{F}$ $\text{IC-1, IC-2, IC-3} = \frac{1}{8} \text{ CD } 4049$
 $R_5, R_6, R_7 = 150 \Omega$

รูปที่ 2 แสดงวงจรภาครับสัญญาณ

(Collector) ไหลขึ้นในทรานซิสเตอร์ กระแสที่เกิดขึ้นจะเป็นสัญญาณ ที่นำไปขยายต่อไป วิธีที่มีปัญหาคือจะคงเอาทรานซิสเตอร์ที่รับสัญญาณมาติดไว้ที่กรง แล้วจึงค่อยต่อสายจากทรานซิสเตอร์มาเข้าภาคขยาย แต่เนื่องจากสัญญาณที่เกิดขึ้นจากทรานซิสเตอร์ตัวแรกอ่อนมาก สายนั้นจึงไม่ยาวจนเกินไป ซึ่งในกรณีปกติจะไม่ควรยาวเกินกว่า 1 เมตร ดังนั้นการใช้ทรานซิสเตอร์เช่นนี้จึงอาจไม่เหมาะที่จะนำมาใช้ เนื่องจากว่าสายที่ต่อระหว่างกรงกับตัวเครื่อง ควรจะยาวพอสมควรเพื่อความสะดวกในการใช้ เครื่องมือ

วิธีเลือกใช้ในการวิจัยนี้คือใช้ **Integrated Circuit (IC)** ที่มีคุณสมบัติที่ดีกว่าทรานซิสเตอร์ทั้งกลาวแทน ไอซี (IC) ที่ใช้คือไอซีหมายเลข CD 4049 ซึ่งมีคุณสมบัติเป็นอินเวอร์เตอร์ 6 ตัว (Hex inverter) ซึ่งมีคุณสมบัติที่สามารถดัดแปลงให้เป็นวงจรขยายก็ได้ ไอซีนี้มีราคาถูกและมีข้อมูลจำเพาะที่แสดงไว้ในตารางที่ 1 (10) และมี connection diagram ตามรูปที่ 1 (11) วงจรของภาครับสัญญาณแสงไว้ในรูปที่ 2 (6) โดยมีหลักการทำงาน คือ สัญญาณจากร่างกายจะผ่านเข้าทาง R_1 เข้าอินพุทของ IC_1 ซึ่งจะทำหน้าที่เป็นดีเทคเตอร์ และขยายสัญญาณ (Amplifier) โดยมีอัตราขยายเท่ากับอัตราส่วนของ R_2 ต่อ R_1 เพราะฉะนั้นตัวกำหนดความไว (Sensitivity) ของเครื่องคืออัตราส่วนดังกล่าวนั่นเอง ในวงจรนี้ได้กำหนดให้อัตราขยายเท่ากับ 20 ($R_1 = 1 \text{ M}\Omega$, $R_2 = 20 \text{ M}\Omega$) ซึ่งจากการทดลองพบว่าเพียงพอแก่การใช้งาน ปกติคลื่นไฟฟ้าทางขาเข้าของไอซีซึ่งเกิดมาจากการสัมผัสจะมีลักษณะเป็นคลื่นรูปไซน์ (Sine wave) ที่มีความถี่ 50 Hz ตามความถี่ของคลื่นแม่เหล็กไฟฟ้าในสิ่งแวดล้อม แต่ทางภาคเอาต์พุทของไอซีนีกรูปคลื่นที่ออกมาจะเป็นรูปเหลี่ยม เนื่องจากได้กำหนดให้ขนาดขยายของ IC_1 เกินพอ (Overloading) ส่วนหัวของ รูปคลื่นไซน์จึงถูกตัดขาดออกไป ดังแสดงไว้ในรูปที่ 2 สัญญาณที่ออกมาถูกนำเข้ามาผ่าน C_1 และ R_3 เพื่อกรองเอาความถี่อื่นที่ไม่ใช่ 50 Hz ออกจากนั้นสัญญาณจึงถูกนำไปอินพุท IC_2 อีกที่หนึ่ง เนื่องจาก R_3 ต่ออยู่กับกราวด์ (Ground) เพราะฉะนั้นเมื่อไม่มีสัญญาณอินพุทที่เข้า IC_2 จะเป็น 0 โวลต์เสมอ ตามคุณสมบัติของการเป็นอินเวอร์เตอร์จากอินพุทเป็น



รูปที่ 3 แสดงวงจรภาคเปลี่ยนสัญญาณไทป์บิต

0 โวลต์ เอาท์พุทจะกลับกันคือเป็น 5 โวลต์ เพราะฉะนั้นสัญญาณที่ผ่านออกจาก IC_2 จึงมี
 ยกบนอยู่ที่ 5 โวลต์ และยกกลางอยู่ที่ 0 โวลต์ แต่เนื่องจากว่าเราต้องการให้เอาท์พุทเป็น
 0 โวลต์เมื่อไม่มีการสัมผัส ดังนั้นจึงจำเป็นต้องมี IC_3 มาช่วยโดยที่สัญญาณที่ออกจากเอาท์พุทของ
 IC_2 ผ่านไดโอด(Diode) D_1 เพื่อทำหน้าที่กรองคลื่นบวกออกผ่านชาย R_4 และ C_2
 แล้วเข้า IC_3 ดังนั้นเมื่อมีการสัมผัสที่อินพุทของ IC_3 จะได้รูปคลื่นกึ่งรูปที่ 2 เมื่อผ่าน IC_3
 แล้วเอาท์พุทที่ออกมาจะได้รูปคลื่นกึ่งรูปที่ 2 จากนั้นจึงผ่านสัญญาณที่ได้ออกไปเข้าไดโอด D_2 เพื่อให้
 แรงดัน 5 โวลต์ผ่านเท่านั้น จึงได้รูปคลื่นกึ่งรูปที่ 2 แล้วจึงนำคลื่นที่ได้มากรองโดยใช้วงจรชาย
 (RC net work) แรงดันไฟฟ้า หลังจากผ่านชาย RC แล้วจึงจะถูกกรองให้เรียบโดยจะได้
 เป็นระดับแรงดันไฟ (DC level)

2.2 การออกแบบและสร้างภาคเปลี่ยนสัญญาณระดับแรงดันให้เป็นพัลส์

เนื่องจากเอาท์พุทที่ออกมาจากภาคดังกล่าวข้างต้น จะเป็นแรงดันไฟฟ้าคงที่ 5 โวลต์
 ซึ่งเกิดขึ้นในขณะสัมผัส และจะมีแรงดันที่หลุดเวลาที่สัมผัส แรงดันคงที่เช่นนี้ไม่เหมาะสมที่จะนำ
 มาป้อนเข้าวงจรภาคนับได้ จึงจำเป็นต้องมีการเปลี่ยนแรงดันที่ได้นี้ให้เป็นคลื่นไฟฟ้าที่เป็นหวงหรือ
 พัลส์ที่เหมาะสมเสียก่อน วงจรของภาคเปลี่ยนสัญญาณเป็นพัลส์แสดงไว้ในรูปที่ 3 วงจรนี้จะแปลง
 แรงดันไฟฟ้าที่ได้ออกมาจากเอาท์พุทของชาย RC ในข้อ 2.1 ให้เป็นรูปสี่เหลี่ยมโดยผ่านแรงดัน
 ไฟฟ้าเข้าไปในทรานซิสเตอร์ ซึ่งจะช่วยให้เอาท์พุทของทรานซิสเตอร์เป็นรูปสัญญาณสี่เหลี่ยมเพียง
 หนึ่งคลื่น (Cycle) เท่านั้น แต่พัลส์ที่เกิดขึ้นนี้จะมีคามยาวของพัลส์เป็นระยะเวลาเท่ากับระยะ-
 เวลาที่มีการสัมผัสแต่ละครั้ง ซึ่งไม่เหมาะสมต่อการนับ จึงมีความจำเป็นที่จะต้องแปลงสัญญาณที่
 ได้จากทรานซิสเตอร์ให้เป็น negative triggering pulse โดยผ่านวงจร RC
 Differentiator ซึ่ง RC Differentiator นี้จะกรองระดับแรงดันที่มีความยาว ๆ
 ของพัลส์ที่เกิดขึ้นให้เหลือเป็นพัลส์สั้น ๆ รูปแหลม (Spike) ซึ่งเกิดขึ้นเฉพาะตอนเกิดและตอนสิ้นสุด
 ของพัลส์รูปสี่เหลี่ยมเท่านั้น ดังแสดงไว้ในรูปที่ 3 จากพัลส์แหลมที่ได้นำไปแปลงเป็นพัลส์รูปสี่เหลี่ยม
 ที่มีคามสั้นเท่ากับคามของพัลส์แหลม ซึ่งเหมาะสมที่จะป้อนเข้าภาคนับต่อไป โดยผ่านพัลส์แหลม
 เข้าทรานซิสเตอร์

001802

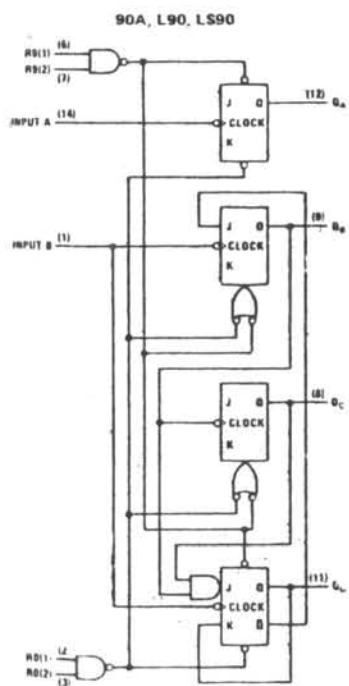
PARAMETER	CONDITIONS		DM54/74			DM54L/74L			DM54LS/74LS			UNITS	
			90A, 92A, 93A			L90, L93			LS90, LS92, LS93				
			MIN	TYP(1)	MAX	MIN	TYP(1)	MAX	MIN	TYP(1)	MAX		
V_{IH} High Level Input Voltage			2			2			2			V	
V_{IL} Low Level Input Voltage			DM54			0.7			0.7			V	
			DM74			0.7			0.8				
V_I Input Clamp Voltage	$V_{CC} = \text{Min}$	$I_I = -12 \text{ mA}$	-1.5			N/A						V	
		$I_I = -18 \text{ mA}$				N/A			-1.5				
I_{OH} High Level Output Current			-800			-200			-400			μA	
V_{OH} High Level Output Voltage	$V_{CC} = \text{Min}, V_{IH} = 2\text{V}$ $V_{IL} = \text{Max}, I_{OH} = \text{Max}$		DM54			2.4 3.4			2.4 3.4			V	
			DM74			2.4 3.4			2.7 3.4				
I_{OL} Low Level Output Current			DM54			16			2			mA	
			DM74			16			3.6				
V_{OL} Low Level Output Voltage	$V_{CC} = \text{Min}$ $V_{IH} = 2\text{V}$ $V_{IL} = \text{Max}$	$I_{OL} = \text{Max (3)}$	DM54			0.2 0.4			0.15 0.3			V	
			DM74			0.2 0.4			0.2 0.4				
			DM74						0.25 0.4				
I_I Input Current at Maximum Input Voltage	Any Reset	$V_{CC} = \text{Min}$	$V_I = 5.5\text{V}$			1			0.1			mA	
			$V_I = 7\text{V}$						0.1				
			A Input	$V_I = 5.5\text{V}$			1			0.2			
				B Input	$V_I = 5.5\text{V}$			L90			0.4		
Others			1			0.2							
I_{IH} High Level Input Current	Any Reset	$V_{CC} = \text{Max}$	$V_I = 2.7\text{V}$ for LS			40			10			μA	
			$V_I = 2.4\text{V}$ for Others			80			20				
			A Input	93			80			20			
				Others			120			40			
I_{IL} Low Level Input Current	Any Reset	$V_{CC} = \text{Max}$	$V_I = 0.3\text{V}$ for L			-1.6			-0.18			mA	
			$V_I = 0.4\text{V}$ for Others			-3.2			-0.36				
			A Input	93			-3.2			-0.36			
				Others			-4.8			-0.72			
I_{OS} Short Circuit Output Current	$V_{CC} = \text{Max (2)}$		DM54			-20 -57			-3 -9 -15			mA	
			DM74			-18 -57			-3 -9 -15				
I_{CC} Supply Current	$V_{CC} = \text{Max (4)}$		90A			29 42						mA	
			Others			26 39			5.5				

การทบทวน 2 แฉก electrical characteristics ของไอซี 7490

Switching Characteristics $V_{CC} = 5V, T_A = 25^\circ C$

PARAMETER		FROM (INPUT)	TO (OUTPUT)	CONDITIONS	DMS4/74									UNITS
					90A, LS90			92A, LS92			93A, LS93			
					MIN	TYP	MAX	MIN	TYP	MAX	MIN	TYP	MAX	
f_{max}	Maximum Count Frequency	A	Q_A	$C_L = 50 \text{ pF}$ For L90 and L93 $C_L = 15 \text{ pF}$ For All Others $R_L = 400\Omega$ For 90A, 92A and 93A $R_L = 2 \text{ k}\Omega$ For LS90, LS92 and LS93 $R_L = 4 \text{ k}\Omega$ For L90 and L93	32	42		32	42		32	42		MHz
		B	Q_B		16			16			16			
t_{PLH}	Propagation Delay Time, Low-to-High Level Output	A	Q_A		10	16		10	16		10	16		ns
t_{PHL}	Propagation Delay Time, High-to-Low Level Output				12	18		12	18		12	18		
t_{PLH}	Propagation Delay Time, Low-to-High Level Output	A	Q_D		32	48		32	48		46	70		ns
t_{PHL}	Propagation Delay Time, High-to-Low Level Output				34	50		34	50		46	70		
t_{PLH}	Propagation Delay Time, Low-to-High Level Output	A	Q_B		10	16		10	16		10	16		ns
t_{PHL}	Propagation Delay Time, High-to-Low Level Output				14	21		14	21		14	21		
t_{PLH}	Propagation Delay Time, Low-to-High Level Output	B	Q_C		21	32		10	16		21	32		ns
t_{PHL}	Propagation Delay Time, High-to-Low Level Output				23	35		14	21		23	35		
t_{PLH}	Propagation Delay Time, Low-to-High Level Output	B	Q_D		21	32		21	32		34	51		ns
t_{PHL}	Propagation Delay Time, High-to-Low Level Output				23	35		23	35		34	51		
t_{PHL}	Propagation Delay Time, High-to-Low Level Output	Set-to-U	Any		26	40		26	40		26	40		ns
t_{PLH}	Propagation Delay Time, Low-to-High Level Output	Set-to-9	Q_A, Q_D		20	30								ns
t_{PHL}	Propagation Delay Time, High-to-Low Level Output		Q_B, Q_C	26	40									
t_W	Pulse Width	A Input		15			15			15			ns	
		B Input		30			30			30				
		Reset Input		15			15			15				
t_{SETUP}	Reset Inactive State Setup Time			25			25			25			ns	

Logic Diagrams



รูปที่ 4 แสดง logic diagrams ของไอซี 7490

Truth Tables

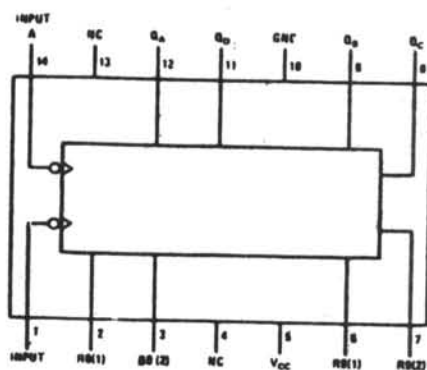
90A, L90, LS90
BCD COUNT SEQUENCE
(See Note A)

COUNT	OUTPUT			
	Q _D	Q _C	Q _B	Q _A
0	L	L	L	L
1	L	L	L	H
2	L	L	H	L
3	L	L	H	H
4	L	H	L	L
5	L	H	L	H
6	L	H	H	L
7	L	H	H	H
8	H	L	L	L
9	H	L	L	H

Notes:

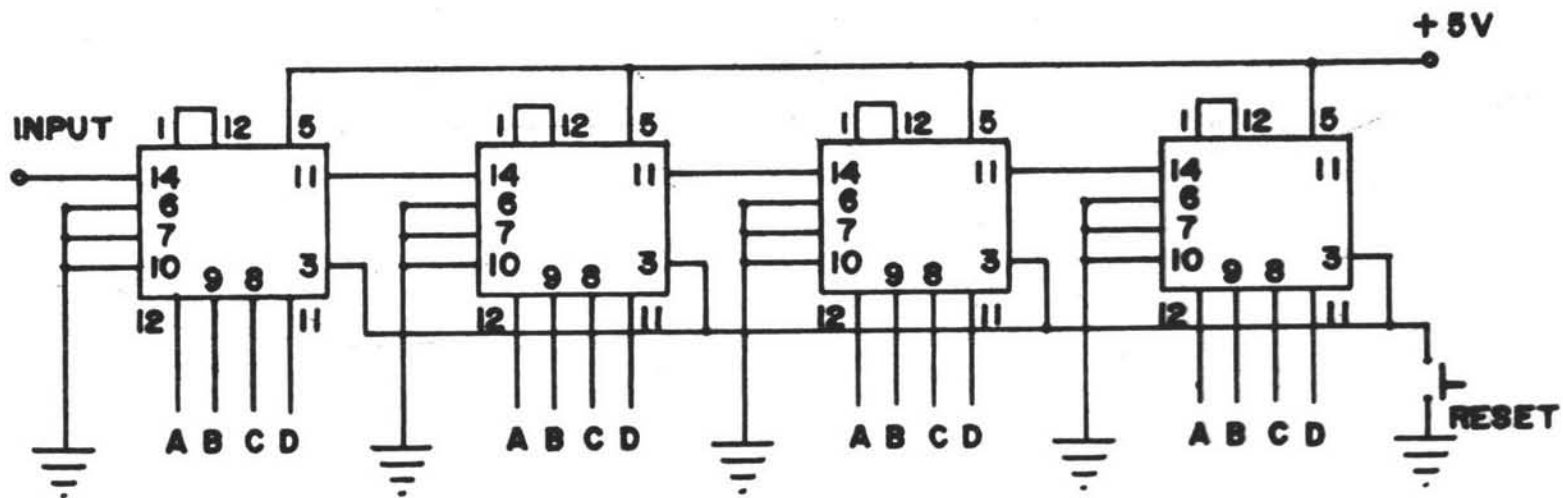
- (A) Output Q_A is connected to input B for BCD count.
 (B) Output Q_D is connected to input A for bi-quinary count.
 (C) Output Q_A is connected to input B.

ตารางที่ 4 แสดงตารางตรรกศาสตร์สำหรับนับ ตั้งแต่ 0 ถึง 9 ของไอซี 7490



Connection Diagrams

รูปที่ 5 แสดง connection diagrams ของไอซี



ALL IC = 7490

รูปที่ 6 แสดงการต่อไอซี 7490 แบบ cascade

วงจรถูกตั้งคำถามทั้งหมดข้างต้น ได้ถูกสร้างขึ้น 4 หน่วย แต่ละหน่วยใช้รับสัญญาณจากแหล่งรับสัญญาณแต่ละชุดรวม 4 ชุด ที่มีอยู่ที่พจนกรง ก็จะได้ออกไปข้อ

2.6

2.3 การออกแบบและสร้างภาคนับสัญญาณที่ได้

ในภาคนับสัญญาณนี้ได้เลือกใช้ IC 7490 ซึ่งเป็นไอซีวงจรมับที่มีขั้วใช้ทั่วไป ลักษณะการทำงานของไอซีนี้ เป็นพวก TTL (Transistor Transistor Logic) โดยมี Logic diagram ดังรูปที่ 4 และข้อมูลจำเพาะดังแสดงไว้ในตารางที่ 2,3 (13) ซึ่งจะเห็นว่าภายในตัวไอซีนี้จะประกอบด้วยมาสเตอร์สเลฟฟลิปฟลอป (master - slave flip - flops) จำนวน 4 ตัวต่อกันภายใน (14) เพื่อให้เป็นวงจรมับ 2 หรือหาร 2 และอีกส่วนหนึ่งเป็นวงจรมับ 5 หรือหาร 5 ในวงจรมับส่วนทำหน้าที่รีเซ็ตให้เอาต์พุตกลับมาที่ "0" (Low state) ได้ เนื่องจากเอาต์พุตของฟลิปฟลอปไม่ได้ต่อกันภายในกับภาคข้างเคียง (15) ไอซีนี้ยังสามารถใช้เป็นวงจรมับเลขถึง 10 ด้วยรหัส BCD (Binary Coded Decimal) โดยอินพุต B (ดูรูปที่ 4) จะต้องได้รับการต่อภายนอกกับเอาต์พุต A (13) ส่วนอินพุต A จะเป็นตัวรับสัญญาณที่จะนับ ในกรณีของการนับ 10 นี้ อินพุตจะได้รับการรีเซ็ตเป็น "0" เมื่อการนับถึง 9 โดยมีหลักการทำงานดังนี้ ทุก ๆ 1 พัลส์จากวงจรถูกตั้งคำถามในข้อ 2.2 จะไป Trigger วงจรมับสิบ ทำให้ได้เอาต์พุตออกมาเป็นสัญญาณไบนารี (BCD) โดยมีลักษณะของสัญญาณที่ออกมาจากเอาต์พุตไปตามขาต่าง ๆ ดังแสดงไว้ในตารางตรรก ดังตารางที่ 4 (13) เนื่องจากเรามีความต้องการตัวเลขถึงสี่หลัก เพราะฉะนั้นจึงต้องใช้ IC 7490 ถึง 4 ตัว โดยต่อเอาต์พุต Q_D ของหลักแรกคือขา 11 เข้ากับอินพุตของ Q_A ในหลักต่อไปคือขา 14 เป็นอย่างนี้เรื่อยไปจนครบสี่หลัก ซึ่งเป็นการต่อแบบต่อเนื่อง (Cascade) (ดูรูปที่ 6) (16) การเปลี่ยนแปลงจะเกิดเมื่อมีการเปลี่ยนแปลงสภาวะตรรก ณ. จากสภาวะ "1" (High state) ไปเป็นสภาวะ "0" (Low state) (ซึ่งหมายถึง Trailing edge triggering (16))

90A, L90, LS90
RESET/COUNT TRUTH TABLE

RESET INPUTS				- OUTPUT			
R0(1)	R0(2)	R9(1)	R9(2)	Q _D	Q _C	Q _B	Q _A
H	H	L	X	L	L	L	L
H	H	X	L	L	L	L	L
X	X	H	H	H	L	L	H
X	L	X	L				COUNT
L	X	L	X				COUNT
L	X	X	L				COUNT
X	L	L	X				COUNT

H = High Level, L = Low Level, X = Don't Care.

ตารางที่ 5 แสดงตารางกรรณสำหรับคาร์รีเซทไอซี 7490

ในการ trigger ให้หลักต่อไปทำงานนั้นเกิดขึ้นได้เพราะในขณะที่นับ 9 เอาท์พุท D จะมีสถานะเป็น "1" และเมื่อนับ 10 จะถูกรีเซตเป็น "0" การเปลี่ยนระดับแรงดันไฟฟ้านี้จะไปกระตุ้นวงจรมัลติไพลี (หลักต่อไป) หนึ่ง และเพื่อให้งานเริ่มต้นนับตั้งแต่ 0 เป็นต้นไป จะต้องมีวงจรรีเซต 6 และ 7 ลงกราวด์เพราะว่าขา 6 และ 7 เป็นรีเซต 9 และขา 2 และ 3 ซึ่งเป็นรีเซต 0 ตามตารางตรรกที่ 5 (13) ซึ่งเป็นตารางตรรกสำหรับรีเซต จากตารางตรรกจะเห็นว่าถ้าต้องการให้มีการนับค่าเนินต่อไป เราควรเลือกรีเซตตามตารางตรรกทั้งแบบรทที่ 4 - 7

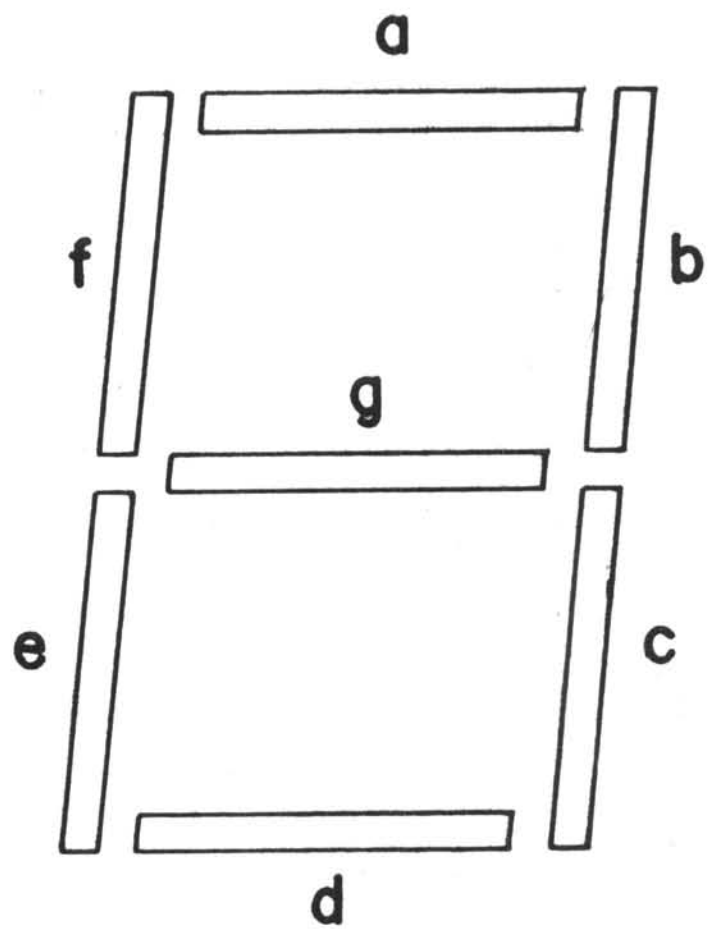
2.4 การออกแบบและสร้างภาคแสดงผลเป็นดิจิทัล (Digital) และอนาล็อก (Analog)

2.4.1 การแสดงผลเป็นดิจิทัล หลังจากผ่านภาคนับแล้ว สัญญาณเอาท์พุทจะออกมาเป็น BCD ซึ่งทำให้มีความจำเป็นที่จะต้องถอดรหัส BCD นี้ออกมาแสดงผลให้ปรากฏเป็นตัวเลขบนแผงตัวเลข 7 ส่วน (7 segment numeric display)

2.4.1.1 แผงแสดงตัวเลข 7 ส่วน ในตัวเลขหนึ่งหลักของแผงตัวเลข 7 ส่วนจะประกอบด้วย Light Emitting Diode (LED) 7 ตัว LED คือ โดไดโอดชนิดหนึ่งที่ถูกออกแบบมาเป็นพิเศษ ให้สามารถเปล่งแสงออกมาได้ขณะที่ถูกไบแอสตรง (Forward bias) (17,18) แสงที่ LED จะเปล่งออกมามีได้หลายสี โดยขึ้นอยู่กับคุณสมบัติของสารที่ใส่ทำ LED นั้น ๆ ความสว่างที่เกิดขึ้นก็จะต่างกันไปด้วย สีที่นิยมใช้กันคือ สีแดง, สีเขียว, และสีเหลือง สีอื่นนอกจากนี้ให้ความสว่างน้อยและบางสีก็ต้องใช้วัสดุที่มีราคาแพงมากจึงไม่เป็นที่นิยม สารที่นิยมใช้ทำ LED มีอยู่ 3 ชนิดคือ แกลเลียมอาร์เซไนด์ (GaAs), แกลเลียมฟอสไฟด์ (GaP) และแกลเลียมอาร์เซไนด์ฟอสไฟด์ (GaAsP) ซึ่งแยกคุณสมบัติได้ดังนี้ (18)

2.4.1.1.1 แกลเลียมอาร์เซไนด์ (GaAs)

นิยมใช้ทำ LED ที่เปล่งแสงอินฟราเรด มีประสิทธิภาพในการเปลี่ยนพลังงานไฟฟ้าเป็น



รูปที่ 7 แสดงชื่อของส่วนต่าง ๆ ของแผงตัวเลข

PARAMETER	CONDITIONS	DMS4/74						UNITS	
		46A, 47A			48				
		MIN	TYP(1)	MAX	MIN	TYP(1)	MAX		
V_{IH}	High Level Input Voltage			2			2	V	
V_{IL}	Low Level Input Voltage					0.8		0.8	
								0.8	
V_I	Input Clamp Voltage	$V_{CC} = \text{Min}$	$I_I = -12 \text{ mA}$			-1.5		-1.5	
			$I_I = -18 \text{ mA}$						
I_{OH}	High Level Output Current	a thru g	$V_{CC} = \text{Min}, V_{IH} = 2V$					-400	
	BI/RBO		$V_{IL} = \text{Max}$			-200		-200	
			$V_{OH} = 5.5V$						
V_{OH}	High Level Output Voltage	a thru g	$V_{CC} = \text{Min}, V_{IH} = 2V$				2.4	4.2	
	BI/RBO		$V_{IL} = \text{Max}, I_{OH} = \text{Max}$		2.4	3.7	2.4	3.7	
I_{OL}	Low Level Output Current	a thru g		DM54		40		6.4	
				DM74		40		6.4	
				DM54		8		8	
				DM74		8		8	
V_{OL}	Low Level Output Voltage	a thru g	$V_{IH} = 2V$	$I_{OL} = \text{Max}$	DM54	0.3	0.4	0.27	0.4
					DM74	0.3	0.4	0.27	0.4
		$V_{CC} = \text{Max}$		$I_{OL} = \text{Max}/2$	DM74 Only		N/A		N/A
		BI/RBO		$I_{OL} = \text{Max}$	DM54	0.27	0.4	0.27	0.4
				DM74	0.27	0.4	0.27	0.4	
		$V_{CC} = \text{Min}$	$I_{OL} = \text{Max}/2$	DM74 Only		N/A		N/A	
$I_{O(Off)}$	Off State Output Current	a thru g	$V_{CC} = \text{Max}, V_{IH} = 2V$	$V_{O(Off)} = \text{Max}$		0.25			
			$V_{IL} = \text{Max}$	$V_O = 0.85V$			-1.3	-2	
$V_{O(Off)}$	Off State Output Voltage	a thru g		46A			30		
				Others		15		5.5	
I_I	Input Current at Maximum Input Voltage	Any Input except BI/RBO	$V_{CC} = \text{Max}$	$V_I = 5.5V$		1		1	
		BI/RBO		$V_I = 7V$					
		BI/RBO		$V_I = 7V$					
I_{IH}	High Level Input Current	Any Input Except BI/RBO	$V_{CC} = \text{Max}$	$V_I = 2.4V$		40		40	
		BI/RBO		$V_I = 2.7V$					
		BI/RBO		$V_I = 2.7V$					
I_{IL}	Low Level Input Current	Any Input Except BI/RBO	$V_{CC} = \text{Max}, V_I = 0.4V$			-1.8		-1.8	
		BI/RBO					-4		-4
I_{OS}	Short Circuit Output Current	BI/RBO	$V_{CC} = \text{Max}$			-4		-4	
I_{CC}	Supply Current		$V_{CC} = \text{Max}(2)$	DM54	60	85	50	76	
				DM74	80	103	50	90	

ตารางที่ 6 แสดง electrical characteristics

ของไอซี 7447

Truth Tables

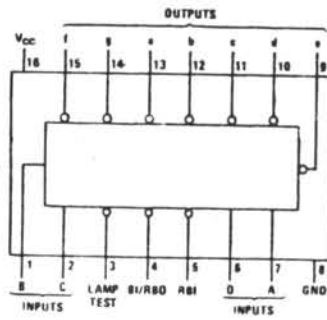
DECIMAL OR FUNCTION	INPUTS					BI/RBO(1)	OUTPUTS							NOTE	
	LT	RBI	D	C	B		A	a	b	c	d	e	f		g
0	H	H	L	L	L	L	H	L	L	L	L	L	L	H	(2)
1	H	X	L	L	L	H	H	L	L	L	H	H	H	H	
2	H	X	L	L	H	L	H	L	L	H	L	L	H	L	
3	H	X	L	L	H	H	H	L	L	L	L	H	H	L	
4	H	X	L	H	L	L	H	H	L	L	H	H	L	L	
5	H	X	L	H	L	H	H	L	H	L	L	H	L	L	
6	H	X	L	H	H	L	H	H	H	L	L	L	L	L	
7	H	X	L	H	H	H	H	L	L	L	H	H	H	H	
8	H	X	H	L	L	L	H	L	L	L	L	L	L	L	
9	H	X	H	L	L	H	H	L	L	L	H	H	L	L	

Notes

- (1) BI/RBO is wire-AND logic serving as blanking input (BI) and/or ripple-blanking output (RBO).
- (2) The blanking input (BI) must be open or held at a high logic level when output functions 0 through 15 are desired. The ripple-blanking input (RBI) must be open or high if blanking of a decimal zero is not desired.
- (3) When a low logic level is applied directly to the blanking input (BI), all segment outputs are H regardless of the level of any other input.
- (4) When ripple-blanking input (RBI) and inputs A, B, C, and D are at a low level with the lamp test input high, all segment outputs go H and the ripple-blanking output (RBO) goes to a low level (response condition).
- (5) When the blanking input/ripple blanking output (BI/RBO) is open or held high and a low is applied to the lamp-test input, all segment outputs are L.

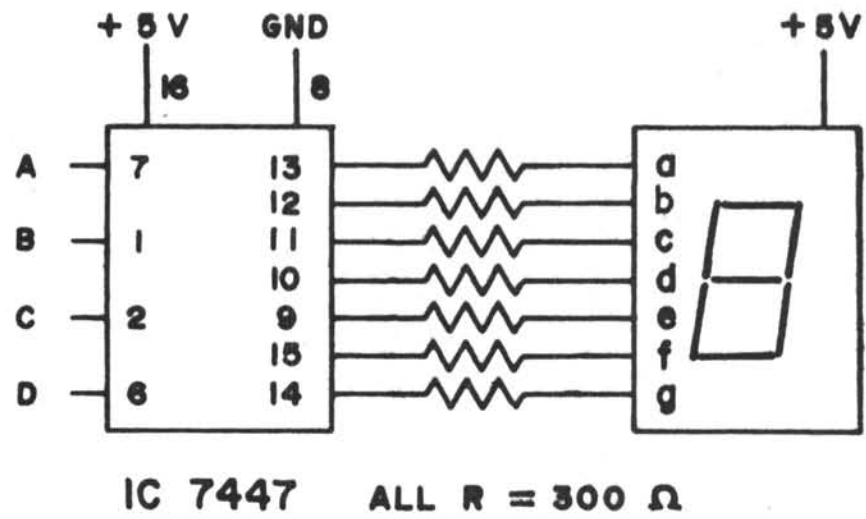
H = High Level, L = Low Level, X = Don't Care

ตารางที่ 7 แสดงตารางตรรกการทำงานของไอซี 7447

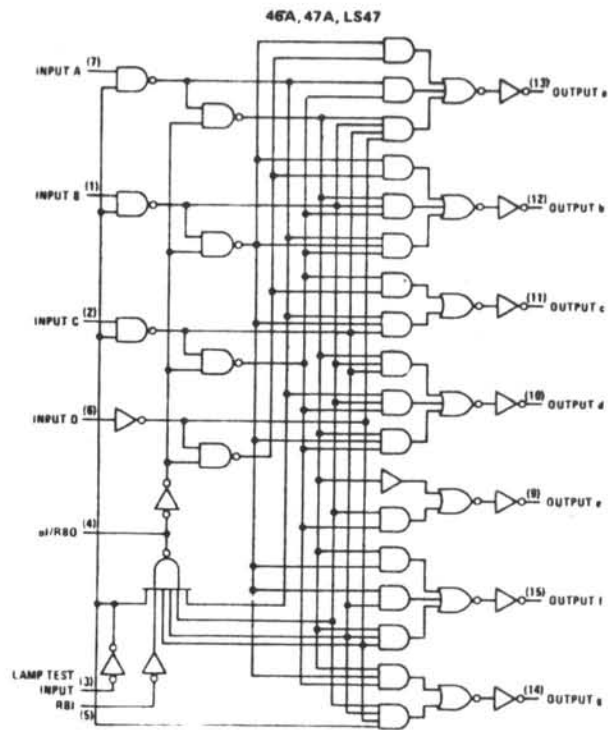


Connection Diagrams

รูปที่ 8 แสดง connection diagrams ของไอซี 7447



รูปที่ 9 แสดงการต่อไอซี 7447 กับแผงตัวเลข 7 ส่วน



Logic Diagrams

รูปที่ 10 แสดง logic diagrams ของไอซี 7447

พลังงานแสงอินฟราเรดที่สูงมากคือสูงถึง 70 % ดังนั้นแรงดันไบแอสตรงจึงต้องการไม่มากนัก (1.2 - 1.3 โวลท์) (17, 18)

2.4.1.1.2 แกลเลียมฟอสไฟต์ (GaP) นิยมใช้

ทำ LED ที่เปล่งแสงสีเขียวและเหลือง มีประสิทธิภาพในการเปลี่ยนรูปพลังงานต่ำมาก จึงจำเป็นต้องใช้แรงดันไบแอสตรงสูงมาก โดยทั่วไปจะอยู่ในช่วง 2.0 ถึง 4.5 โวลท์ (18)

2.4.1.1.3 แกลเลียมอาร์เซไนต์ฟอสไฟต์ (GaAsP)

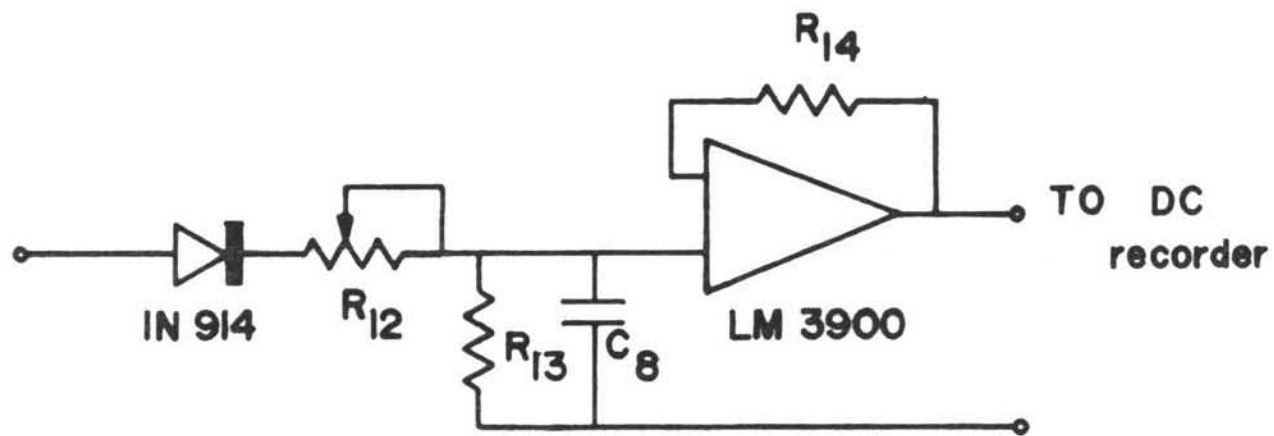
นิยมใช้ทำ LED ที่เปล่งแสงสีแดง มีประสิทธิภาพในการเปลี่ยนรูปพลังงานปานกลาง จึงใช้แรงดันไบแอสตรงปานกลาง คืออยู่ระหว่าง 1.2 - 2.0 โวลท์ (18)

ในแผงตัวเลข LED 7 ส่วน แต่ละส่วนคือ LED 1 ตัว เมื่อต้องการให้ส่วนใดสว่างก็ป้อนแรงดันและกระแสไฟให้แก่ส่วนนั้น เพื่อความสะดวกในการเรียกชื่อแต่ละส่วน จึงกำหนดชื่อเรียกเป็น a, b, c, d, e, f, g ดังแสดงไว้ในรูปที่ 7 แผงตัวเลข LED 7 ส่วนจะมี 2 แบบ คือ (18, 19)

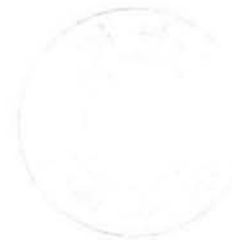
ก. แบบอโนดรวม (Common Anode Type) (19, 20)

ข. แบบคาโทดรวม (Common Cathode Type) (19, 20)

2.4.1.2 การถอดรหัสและแสดงผลเป็นตัวเลข (Decoder and 7 - segment display driver) เมื่อเราจะเปลี่ยนรหัส BCD ให้ออกมาเป็นเลขฐานสิบ โดยแสดงผลบนแผงตัวเลข เราก็จะต้องมีวงจรถอดรหัส (decoder) และวงจรขับ (driver) เพื่อทำหน้าที่จ่ายกระแสไฟเลี้ยงให้ไ้มากเท่าที่ LED ต้องการ ในปัจจุบันได้นิยมสร้างวงจรถอดรหัสและวงจรขับลงบนไอซีเดียวกัน และเรียกชื่อไอซีตัวนี้ตามหน้าที่การทำงานว่า BCD - to - 7 - segment decoder/driver (20, 21) ซึ่งหมายความว่าทำหน้าที่ถอดรหัสจาก BCD ให้อยู่ในรูปที่เข้ากับแผงตัวเลข 7 ส่วนได้และมีวงจรขับอยู่ในตัว คิรคอลลไอซีที่ไรคือหมายเลข 7447 ซึ่งเป็นไอซีที่เข้ากับแผงเลข 7 ส่วนแบบอโนดรวม การทำงานของไอซีจะเป็นไปตามตารางตรรกที่ 7 การถอดไอซีเข้ากับแผงตัวเลข 7 ส่วน ทำตามรูปที่ 8 - 9 (20)



รูปที่ 11 แสดงวงจรของภาคอินพุต



PARAMETER	CONDITIONS	LM3900			UNITS
		MIN	TYP	MAX	
Power Supply Rejection	$T_A = 25^\circ\text{C}$, $f = 100\text{ Hz}$	70			dB
Mirror Gain	@ $20\mu\text{A}$ (Note 3)	0.90	1.0	1.1	$\mu\text{A}/\mu\text{A}$
	@ $200\mu\text{A}$ (Note 3)	0.90	1.0	1.1	$\mu\text{A}/\mu\text{A}$
Δ Mirror Gain	@ $20\mu\text{A}$ To $200\mu\text{A}$ (Note 3)	2 5			%
Mirror Current	(Note 4)	10	500		μADC
Negative Input Current	$T_A = 25^\circ\text{C}$ (Note 5)	1.0			mA_{DC}
Voltage Gain	$f = 100\text{ Hz}$				V/mV
Input Bias Current	Inverting Input				nA
Open Loop					
Voltage Gain					V/mV
Voltage Gain	$T_A = 25^\circ\text{C}$, $f = 100\text{ Hz}$	1.2	2.8		V/mV
Input Resistance	$T_A = 25^\circ\text{C}$, Inverting Input	1			$\text{M}\Omega$
Output Resistance		8			$\text{k}\Omega$
Unity Gain Bandwidth	$T_A = 25^\circ\text{C}$, Inverting Input	2.5			MHz
Input Bias Current	$T_A = 25^\circ\text{C}$, Inverting Input	30 200			nA
	Inverting Input				nA
Slew Rate	$T_A = 25^\circ\text{C}$, Positive Output Swing	0.5			$\text{V}/\mu\text{s}$
	$T_A = 25^\circ\text{C}$, Negative Output Swing	20			$\text{V}/\mu\text{s}$
Supply Current	$T_A = 25^\circ\text{C}$, $R_L = \infty$ On All Amplifiers	6.2	10		mA_{DC}
Output Voltage Swing	$T_A = 25^\circ\text{C}$, $R_L = 2\text{k}$, $V_{\text{CC}} = 15.0\text{ VDC}$	13.5			VDC
V _{OUT} High	$I_{\text{IN}}^- = 0$, $I_{\text{IN}}^+ = 0$				VDC
V _{OUT} Low	$I_{\text{IN}}^- = 10\mu\text{A}$, $I_{\text{IN}}^+ = 0$	14.2 0.2			VDC
V _{OUT} High	$I_{\text{IN}}^- = 0$, $I_{\text{IN}}^+ = 0$, $R_L = \infty$, $V_{\text{CC}} = 30\text{ VDC}$	0.09			VDC
Output Current Capability	$T_A = 25^\circ\text{C}$				
Source		8	10		mA_{DC}
Sink	(Note 2)	0.5	1.3		mA_{DC}
I _{SINK}	$V_{\text{OL}} = 1\text{V}$, $I_{\text{IN}} = 5\mu\text{A}$	5			mA_{DC}

absolute maximum ratings

	LM2900/LM3900
Supply Voltage	32 V _{DC} 116 V _{DC}
Power Dissipation ($T_A = 25^\circ\text{C}$) (Note 1)	
Cavity DIP	800 mW
Flat Pack	800 mW
Molded DIP	570 mW
Input Currents, I_{IN}^+ or I_{IN}^-	20 mA_{DC}
Output Short-Circuit Duration — One Amplifier	Continuous
Operating Temperature Range	
LM2900	-40°C to $+85^\circ\text{C}$
LM3900	0°C to $+70^\circ\text{C}$
Storage Temperature Range	-65°C to $+150^\circ\text{C}$
Lead Temperature (Soldering, 10 seconds)	300°C

Note 1: For operating at high temperatures, the device must be derated based on a 125°C maximum junction temperature and a thermal resistance of $175^\circ\text{C}/\text{W}$ which applies for the device soldered in a printed circuit board, operating in a still air ambient.

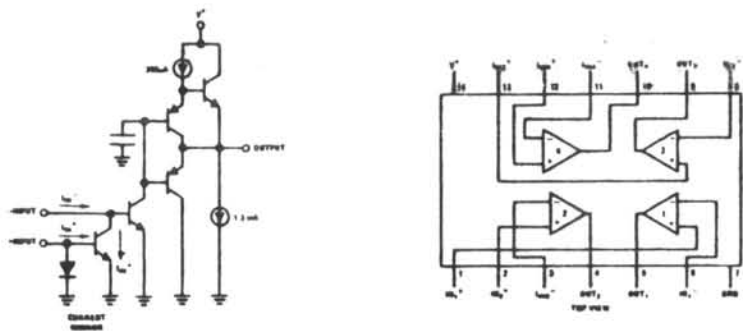
Note 2: The output current sink capability can be increased for large signal conditions by overdriving the inverting input. This is shown in the section on Typical Characteristics.

Note 3: This spec indicates the current gain of the current mirror which is used as the non-inverting input.

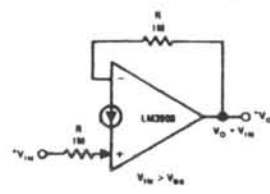
Note 4: Input V_{BE} match between the non-inverting and the inverting inputs occurs for a mirror current (non-inverting input current) of approximately $10\mu\text{A}$. This is therefore a typical design center for many of the application circuits.

Note 5: Clamp transistors are included on the IC to prevent the input voltages from swinging below ground more than approximately $-0.3\text{ V}_{\text{DS}}$. The negative input currents which may result from large signal overdrive with capacitance input coupling need to be externally limited to values of approximately 1 mA . Negative input currents in excess of 4 mA will cause the output voltage to drop to a low voltage. This maximum current applies to any one of the input terminals. If more than one of the input terminals are simultaneously driven negative smaller maximum currents are allowed. Common-mode current biasing can be used to prevent negative input voltages; see for example, the "Differential Circuit" in the applications section.

Note 6: These specs apply for $-55^\circ\text{C} \leq T_A \leq +125^\circ\text{C}$, unless otherwise stated.

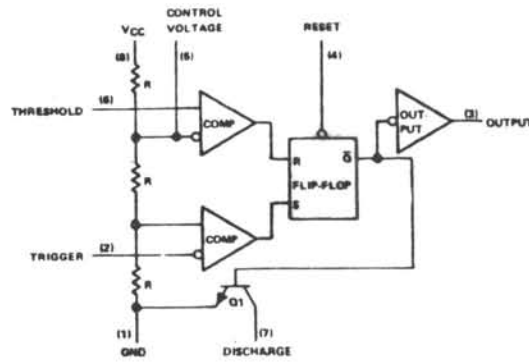
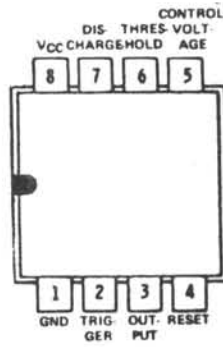


schematic and connection diagrams



A Unity-gain DC Buffer Amplifier

รูปที่ 12 แสดง Schematic diagrams connection diagrams และวงจร ขยายพื้นฐานแบบ Unity-gain DC Buffer Amplifier



functional block diagram



รูปที่ 13 แสดง block diagrams ของไอซี 555

absolute maximum ratings over operating free-air temperature range (unless otherwise noted)

Supply voltage, V_{CC} (see Note 1)	18 V
Input voltage (control voltage, reset, threshold, trigger)	V_{CC}
Output current	± 225 mA
Continuous total dissipation at (or below) 25°C free-air temperature (see Note 2)	600 mW
Operating free-air temperature range: SN52555	-55°C to 125°C
SN72555	0°C to 70°C
Storage temperature range	-85°C to 150°C
Lead temperature 1/16 inch from case for 60 seconds: JP or L package	300°C
Lead temperature 1/16 inch from case for 10 seconds: P package	260°C

NOTES: 1. All voltage values are with respect to network ground terminal.
 2. For operation above 25°C free-air temperature, refer to Dissipation Derating Curve, Figure 1.

recommended operating conditions

	SN52555			SN72555			UNIT
	MIN	NOM	MAX	MIN	NOM	MAX	
Supply voltage, V_{CC}	4.5		18	4.5		18	V
Input voltage, V_I (control voltage, reset, threshold, trigger)			V_{CC}			V_{CC}	V
Output Current, I_O			± 200			± 200	mA
Operating free-air temperature, T_A	-55		125	0		70	°C

electrical characteristics at 25°C free-air temperature, $V_{CC} = 5$ V to 15 V (unless otherwise noted)

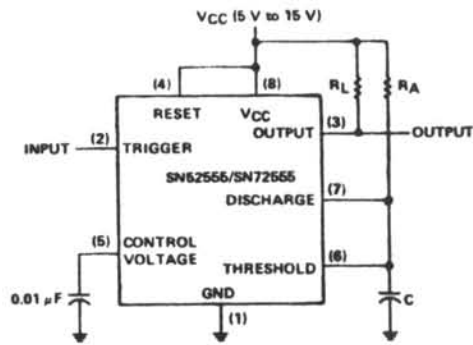
PARAMETER	TEST CONDITIONS	SN52555			SN72555			UNIT
		MIN	TYP	MAX	MIN	TYP	MAX	
Threshold voltage level as a percentage of supply voltage		66.7			66.7			%
Threshold current (see Note 3)		0.1	0.25		0.1	0.25	μ A	
Trigger voltage level	$V_{CC} = 15$ V	4.8	5	5.2	5			V
	$V_{CC} = 5$ V	1.45	1.57	1.9	1.57			
Trigger current		0.5			0.5			μ A
Reset voltage level		0.4	0.7	1	0.4	0.7	1	V
Reset current		0.1			0.1			mA
Control voltage (open-circuit)	$V_{CC} = 15$ V	9.5	10	10.4	9	10	11	V
	$V_{CC} = 5$ V	2.9	3.3	3.8	2.6	3.3	4	
Low-level output voltage	$V_{CC} = 15$ V	$I_{OL} = 10$ mA	0.1	0.15	0.1			V
		$I_{OL} = 50$ mA	0.4	0.5	0.4			
		$I_{OL} = 100$ mA	2	2.2	2			
		$I_{OL} = 200$ mA	2.5		2.5			
	$V_{CC} = 5$ V	$I_{OL} = 5$ mA	0.1	0.25				
		$I_{OL} = 8$ mA				0.16	0.35	
High-level output voltage	$V_{CC} = 15$ V	$I_{OH} = -100$ mA	13	13.3	12.75	13.3	V	
		$I_{OH} = -200$ mA	12.5			12.5		
	$V_{CC} = 5$ V	$I_{OH} = -100$ mA	3	3.3	2.75	3.3		
Supply current	Output low, No load	$V_{CC} = 15$ V	10			10	15	mA
		$V_{CC} = 5$ V	3			3	5	
	Output high, No load	$V_{CC} = 15$ V	9			9	14	
		$V_{CC} = 5$ V	2			2	5	

NOTE 3: This parameter influences the maximum value of the timing resistors R_A and R_B . For example when $V_{CC} = 5$ V the maximum value is $R = R_A + R_B = 20$ M Ω .

operating characteristics, $V_{CC} = 5$ V and 15 V

PARAMETER	TEST CONDITIONS†	SN52555			SN72555			UNIT
		MIN	TYP	MAX	MIN	TYP	MAX	
Initial accuracy of timing interval	$R_A = 1$ k Ω to 100 k Ω , $T_A = 25^\circ$ C	0.5			1			%
Temperature coefficient of timing interval	$R_B = 0$ to 100 k Ω , $T_A = \text{MIN to MAX}$	30			50			ppm/°C
Supply voltage sensitivity of timing interval	$C = 0.1$ μ F, $T_A = 25^\circ$ C	0.005			0.02			%/V
Output pulse rise time	$C_L = 15$ pF, $T_A = 25^\circ$ C	100			100			ns
Output pulse fall time		100			100			ns

† For conditions shown as MIN or MAX, use the appropriate value specified under recommended operating conditions.



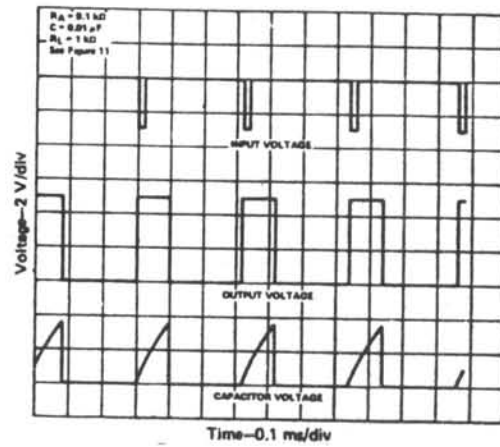
CIRCUIT FOR MONOSTABLE OPERATION

รูปที่ 14 แสดงวงจรเบี่ยงเบนสำหรับวงจรโมโนสเตเบิลของไอซี 555

2.4.2 การแสดงผลเป็นอนาล็อก เนื่องจากในการทดลองบางครั้ง เราจำเป็นต้องมีการบันทึกผลการทดลองบนกระดาษ เพราะฉะนั้น เครื่องบันทึกจึงต้องมี สัญญาณออกที่เหมาะสมกับเครื่องบันทึก (Recorder) วงจรของภาคนี้แสดงไว้ในรูปที่ 11 วงจรประกอบด้วยขั้วขจรอินทิเกรตติ้ง (Integrating circuit) ซึ่งประกอบด้วย ตัวความต้านทาน (Resistor) และตัวเก็บประจุ (Capacitor) ต่อขนานกัน และ วงจรขยายพัลส์ที่ได้จากภาครับสัญญาณจะผ่าน ขั้วขจรอินทิเกรตติ้งที่มีค่าเวลาคงที่ (Time constant) 50 วินาที⁽²³⁾ จากนั้นจึงผ่านสัญญาณที่ได้ ขั้วขจรขยายชนิด Signal follower output ซึ่งใช้ ไอซี op amp LM 3900 (มีข้อมูลจำเพาะตามตารางที่ 8 และมีแบบวงจรขยายพื้นฐาน ตามรูปที่ 12)^(24, 25)

2.5 การออกแบบและสร้างภาคไทมิง (Timing) และสวิทชิง (Switching)

ภาคนี้หน้าที่ควบคุมการทำงานของ เครื่องมือให้อยู่ใน ช่วงเวลาที่ เราต้องการ วงจรที่ หน้าที่กำหนด เวลาตามที่ต้องการคือ วงจร Timing จะมีลักษณะเป็น วงจร Multivibrator ไวเบรเตอร์ (Multivibrator) แบบโมโนสเตเบิ้ล (Monostable) ในการออกแบบได้เลือกใช้ IC 555 ซึ่งมี Block diagrams ตามรูปที่ 13⁽²⁶⁾ และมีข้อมูลจำเพาะดังแสดงไว้ในตารางที่ 9⁽²⁷⁾ วงจรเบื้องต้นสำหรับโมโนสเตเบิ้ลที่ใช้ IC 555 แสดงไว้ในรูปที่ 14⁽²⁸⁾ วงจรนี้จะสร้างพัลส์ที่มีความกว้างเป็นวินาทีเท่ากับ $R_A \cdot C$ (Ohm x farad) (คือค่าเวลาคงที่) การทำงานของวงจรจะเริ่มจากเมื่อมี negative pulse เข้าไปที่ขา trigger (ขา 2) โดยวงจรกำเนิด negative pulse นี้มีลักษณะเป็น RC Differentiator trigger pulse ที่ได้จะสั่งเริ่ม การทำงานของวงจรฟลิปฟลอป โดย Q_1 (ที่มีอยู่ภายใน IC 555 รูปที่ 13) จะปิดวงจร ทำให้แรงดันไฟเอาท์พุทอยู่ระดับสูง ("1") ขณะเดียวกันตัวเก็บประจุจะเริ่มเก็บประจุ (charge) ผ่าน R_A ด้วยเวลาคงที่เท่ากับ $R_A \cdot C$ วินาที เมื่อแรงดันไฟตกตลอด ตัวเก็บประจุถึงแรงดันไฟ Threshold ของวงจร comparator^(28, 29) วงจรฟลิปฟลอปจะถูกรีเซต⁽²⁸⁾ ทำให้ Q_1 ถูกกระตุกและตัวเก็บประจุจะเกิดการ



TYPICAL MONOSTABLE WAVEFORMS

รูปที่ 15 แสดง typical monostable waveforms ของไอซี 555

PARAMETER	CONDITIONS	DM54/74			UNITS
		00, 04 16, 20, 30			
		MIN	TYP(1)	MAX	
V_{IH}	High Level Input Voltage	2			V
V_{IL}	Low Level Input Voltage	DM54	0.8		V
		DM74	0.8		
V_I	Input Clamp Voltage	$V_{CC} = \text{Min}$	$I_I = -8 \text{ mA}$		V
			$I_I = -12 \text{ mA}$	-1.5	
			$I_I = -18 \text{ mA}$		
I_{OH}	High Level Output Current				-400 μA
V_{OH}	High Level Output Voltage	$V_{CC} = \text{Min}, V_{IL} = \text{Max}$ $I_{OH} = \text{Max}$	DM54	2.4 3.4	V
			DM74	2.4 3.4	
I_{OL}	Low Level Output Current				16 mA
		DM54	16		
		DM74	16		
V_{OL}	Low Level Output Voltage	$V_{CC} = \text{Min}$ $V_{IH} = 2\text{V}$	$I_{OL} = \text{Max}$	DM54 0.2 0.4	V
			$I_{OL} = 4 \text{ mA}$	DM74 0.2 0.4	
				DM74	
I_I	Input Current at Maximum Input Voltage	$V_{CC} = \text{Max}$	$V_I = 5.5\text{V}$	1	mA
			$V_I = 7\text{V}$		
I_{IH}	High Level Input Current	$V_{CC} = \text{Max}$	$V_I = 2.4\text{V}$	40	μA
			$V_I = 2.7\text{V}$		
I_{IL}	Low Level Input Current	$V_{CC} = \text{Max}$	$V_I = 0.3\text{V}$		mA
			$V_I = 0.4\text{V}$	LS30	
			$V_I = 0.5\text{V}$	Others	
				-1.6	
I_{OS}	Short Circuit Output Current	$V_{CC} = \text{Max}(2)$	DM54	-20 -55	mA
			DM74	-18 -55	
I_{CC}	Supply Current	$V_{CC} = \text{Max}$	See Table		

Notes

- (1) All typical values are at $V_{CC} = 5\text{V}, T_A = 25^\circ\text{C}$.
- (2) Not more than one output should be shorted at a time, and for DM54H/DM74H, DM54LS/DM74LS and DM74S, duration of short circuit should not exceed one second.
- (3) National Semiconductor temporarily reserves the right to ship DM54/DM74LS00, LS04, LS10, LS20, LS30 devices which have a minimum $I_{OS} = 5.0 \text{ mA}$.

Switching Characteristics at $V_{CC} = 5\text{V}, T_A = 25^\circ\text{C}$

DEVICE	CONDITIONS	t_{PLH} (ns)			t_{PHL} (ns)		
		Propagation Delay Time, Low-To-High Level Output			Propagation Delay Time, High-To-Low Level Output		
		MIN	TYP	MAX	MIN	TYP	MAX
00, 10	$C_L = 15 \text{ pF}, R_L = 400\Omega$	11	22	7	15		
04, 20		12	22	8	15		
30		13	22	8	15		

Supply Currents

DEVICE	I_{CCH} (mA)		I_{CCL} (mA)	
	Total With Outputs High		Total With Outputs Low	
	TYP	MAX	TYP	MAX
00	4	8	12	22

การพื้ 10 แลคขยูลง่าเพาระของไต้ 7400

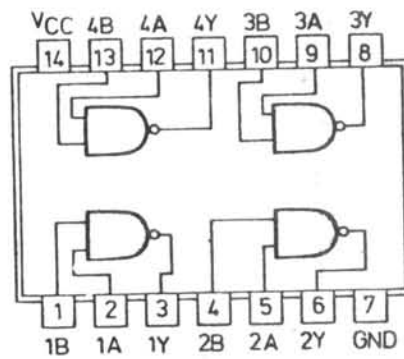
การนำวงจร NAND Gate

A	B	X
0	0	1
0	1	1
1	0	1
1	1	0



ภาพที่ 11 แสดงการนำวงจร NAND Gate

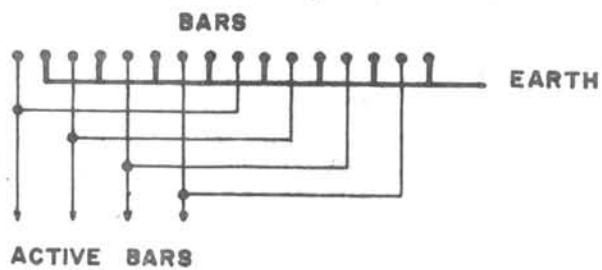
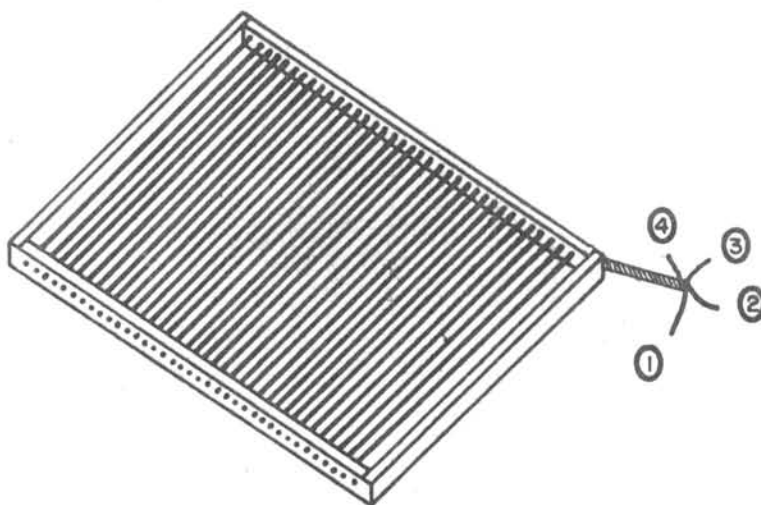
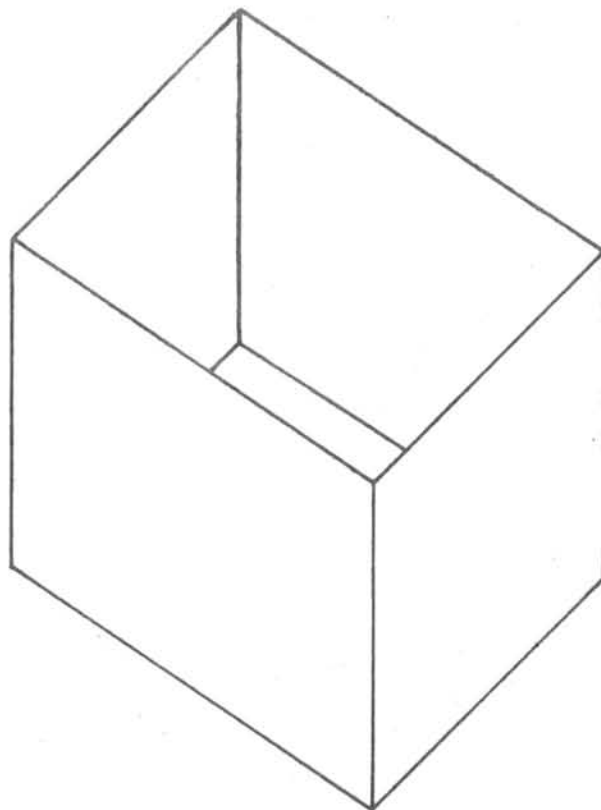
Quad 2-Input NAND Gates



รูปที่ 17 แสดง connection diagrams ของไอซี 7400

คายประจุ (Discharge) ทำให้แรงดันไฟเอาต์พุตลดลงสู่ระดับต่ำ ("0") รูปคลื่น (wave form) ทาง ๆ ที่เกิด แสดงไว้ในรูปที่ 15⁽²⁸⁾ ในวงจรที่สร้างขึ้นได้กำหนด ตัวเก็บประจุใหม่ค่าเท่ากับ 220 μF แล้วจึงคอยปรับค่าความต้านทาน R (มีค่าปรับได้ เท่ากับ 0 - 1 M Ω) แต่ละตัว เพื่อจกคามความยาวของ ระดับแรงดันที่ออกมาให้มีระยะเวลาต่าง ๆ ตามที่ต้องการ ซึ่งได้แก่ 1, 2, 3, 4, และ 5 นาที ตามลำดับวงจร ข้อ 2.5 นี้แสดงไว้ในรูปที่ 16

ส่วนภาคควบคุมการนับ (Switching) เราเลือกใช้ IC 7400 ซึ่งเป็นไอซีที่ทำหน้าที่เป็น NAND Gate 4 ตัว แยกกันโดยอิสระและอยู่บนไอซีตัวเดียวกัน ไอซีนี้มีขอมูลจำเพาะตามตารางที่ 10⁽³⁰⁾ และมีตารางตรรกตามตารางที่ 11⁽³¹⁾ จุดประสงค์ที่จะต้องมีภาคนี้เพื่อความสะดวกของผู้ใช้เครื่องมือนี้ คือเมื่อภาคนับทำการนับถึงเวลาที่เรากำหนดก็จะหยุดพร้อมทั้งมีสัญญาณแจ้งว่าครบกำหนดเวลาที่เรากต้องการ (Hold) นอกจากนี้ขณะที่การนับดำเนินอยู่ก็ยังมีสัญญาณแจ้งว่า ในขณะที่กำลังให้ภาคนับทำงานอยู่ (Run) โดยที่วงจรดังแสดงไว้ในรูปที่ 16 และการทำงานของวงจรมีดังนี้คือ ที่ IC₄ เมื่อมีสัญญาณ "1" (High หรือ 5 โวลท์) จากวงจรเวลาเข้าที่อินพุต 2 และที่อินพุต 1 มีสัญญาณ "1" (แรงดันไฟ 5 โวลท์ที่เราต่อไว้) เอาท์พุตจะเป็น "0" (ตามตารางตรรกของ NAND Gate) จึงทำให้ไม่มีแรงดันไฟตกตลอด LED₁ LED₂ จึงจะไม่ติดแต่เมื่อไม่มีสัญญาณจากวงจรเวลา เอาท์พุตของ IC₄ จะเป็น "1" ทำให้มีแรงดันไฟตกตลอด LED₁ ทำให้ LED₁ เปล่งแสงออกมาได้ ที่ IC₅ เมื่อมีสัญญาณ "1" จากวงจรเวลาเข้าที่อินพุต 3 และที่อินพุต 4 มีสัญญาณพัลส์ที่เราต้องการนับ ซึ่งมาจากวงจรรับสัญญาณ (ข้อ 2.1 และข้อ 2.2) เอาท์พุตที่ออกจาก IC₅ จะเป็น "0" แต่เมื่อไม่มีพัลส์มาที่อินพุต 4 ค่าเอาท์พุตของ IC₅ ก็จะเป็น "1" และเมื่อสัญญาณจาก IC₅ นี้ถูกส่งเข้า IC₆ จะถูกกลับเฟส (phase) ทั้งหมด การทำดังนี้เท่ากับว่าได้คิดแปลง IC₆ ซึ่งเป็น NAND gate ให้เป็นอินเวอร์เตอร์ เพื่อให้พัลส์ที่ออกจาก IC₆ อยู่ในเฟสเดียวกันกับพัลส์จากวงจรรับสัญญาณ (ข้อ 2.1 และข้อ 2.2) แล้วพัลส์ที่ได้จาก IC₆ ก็จะ

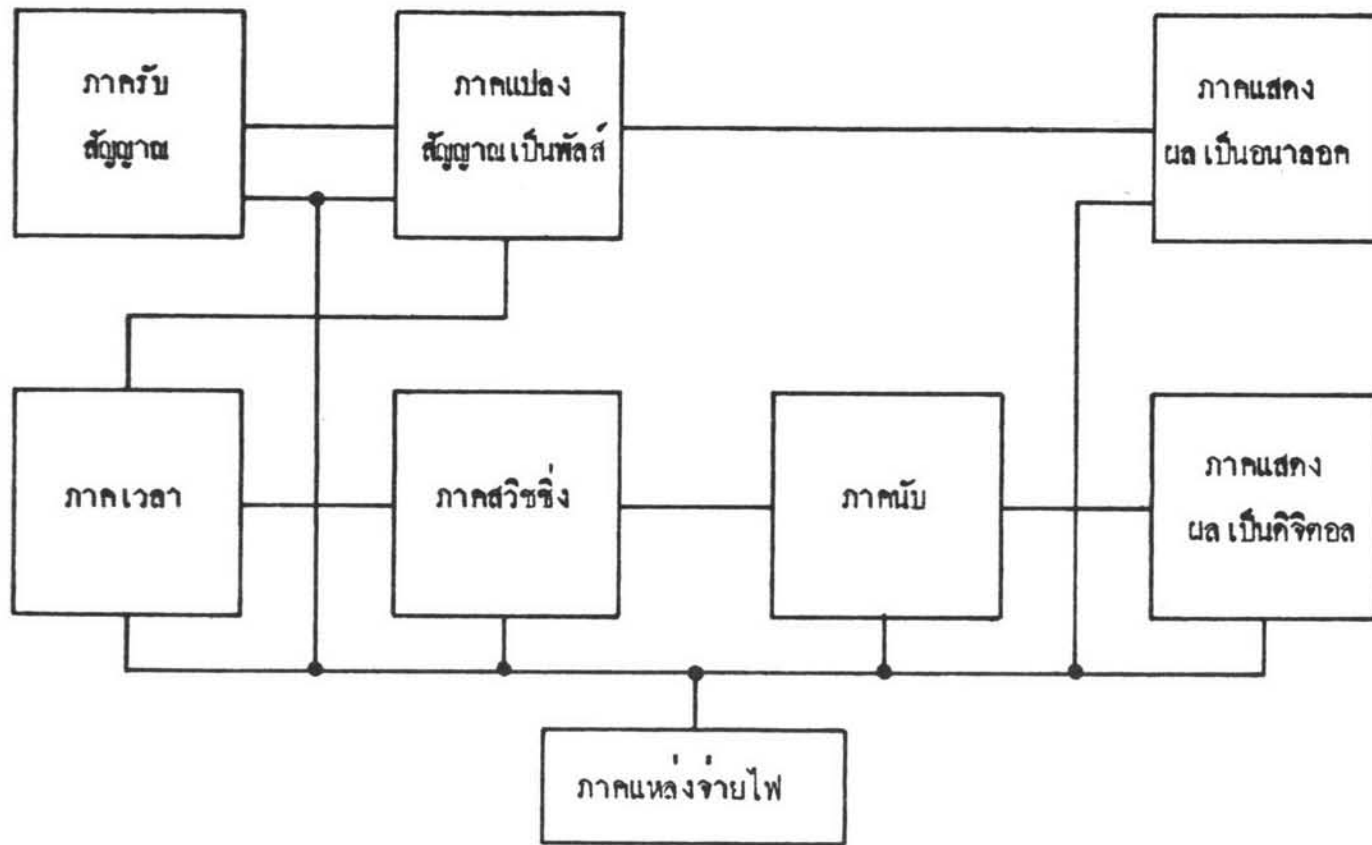


รูปที่ 18 แสดงรูปทรงและการทอสายรับสัญญาณกับที่ฉนวน

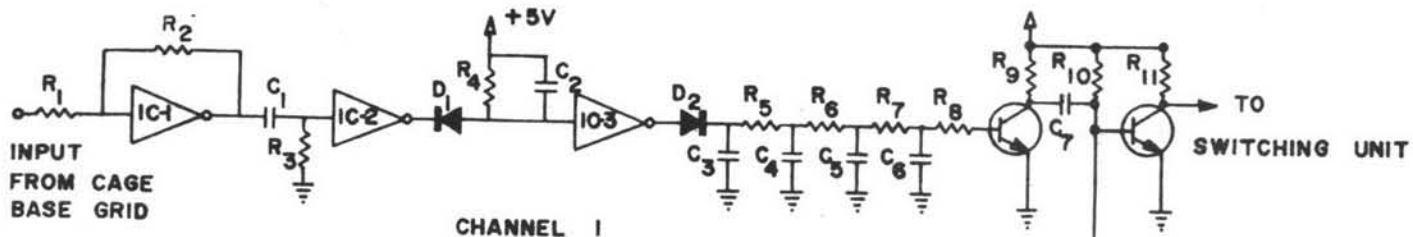
ถูกป้อนเข้าสู่วงจรนับอีกทอดหนึ่ง เมื่อครบเวลาที่เรากังไว้ อินพุต 3 ของ IC₅ จะเป็น "0" ส่วนอินพุต 4 นั้นแม้ว่าจะเป็น "1" ซึ่งทำให้เอาท์พุทอยู่ในสภาวะเป็น "1" แต่เมื่อผ่านอินเวอร์เตอร์แล้วก็จะถูกกลับเป็น "0" หรือถ้าอินพุต 4 เป็น "0" เอาท์พุทก็จะยังคงเป็น "1" ซึ่งจะถูกอินเวอร์เตอร์กลับให้เป็น "0" อีกเช่นกัน เพราะฉะนั้นเมื่อครบเวลาที่กังไว้ ก็จะไม่มีความออกจากภาคสวิทช์ซึ่งเข้าภาคนับ ทำให้ภาคแสดงตัวเลขคงตัวเลขที่นับได้ครั้งสุดท้ายไว้ นอกจากนี้เรายังต่อ LED₂ เพื่อแสดงให้เห็นว่าการส่งพัลส์เข้าภาคนับดำเนินอยู่ โดยอาศัยสัญญาณที่ออกจากวงจรตั้งเวลาหรือแรงดันไฟ 5 โวลต์จากสวิทช์ เมื่อเราเลื่อนสวิทช์มายัง Free run ซึ่งจะใช้ในกรณีที่เราต้องการให้มีการนับอยู่ตลอดเวลา การเลื่อนสวิทช์มาที่ Free run ทำให้ที่อินพุต 3 ของ IC₅ มีสัญญาณ "1" อยู่ตลอดเวลา

2.6 การสร้างกรง (Activity cage)

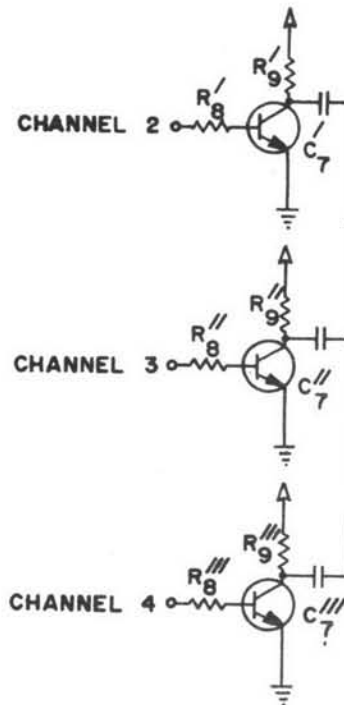
การออกแบบเราแบ่งกรงออกเป็น 2 ส่วน คือ ส่วนฐานและส่วนโครงบิกตามรูปที่ 18 ขนาดของกรงที่สร้างขึ้นใช้คือ 30 x 40 x 30 มม. (2) ซึ่งเป็นขนาดที่พอเหมาะสำหรับสัตว์ทดลองขนาดเล็กเช่นหนูถีบจักรและหนูขาวเป็นต้น ส่วนฐานมีพื้นเป็นซี่ลวดวางขนานกันบนกรอบพลาสติก มีระยะห่างระหว่างซี่ 0.9 มม. เหตุที่ใช้ซี่ลวดเนื่องจากขณะทำการทดลอง สัตว์ทดลองอาจมีการถ่ายปัสสาวะและอุจจาระได้ เพราะฉะนั้นถ้าเป็นซี่ลวดทั้งปัสสาวะและอุจจาระจะตกลงข้างล่างทำให้ไม่ฉีกฉีกและเป็นที่น่ารำคาญแก่สัตว์ทดลองได้ การทอสายรับสัญญาณได้ก็เข้ากับซี่ลวดซี่เว้นซี่ แล้วทอเชื่อมสายรับสัญญาณ โดยเว้นห่างกัน 4 เส้น โดยเส้นที่ 1 จะเชื่อมกับเส้นที่ 5, 9, 13, 17 และ 21 ส่วนเส้นที่ 2 ก็จะเชื่อมกับเส้นที่ 6, 10, 14 และ 18 เส้นที่ 3 ก็จะเชื่อมกับเส้นที่ 7, 11, 15, 19 และเส้นที่ 4 ก็จะเชื่อมกับเส้นที่ 8, 12, 16 และ 20 ถึงรูปที่ 18 ทำให้ได้ซี่ลวดที่ทำหน้าที่รับสัญญาณจากสัตว์ทดลองแบ่งกันได้เป็น 4 ชุด แต่ละชุดจะต่อเข้ากับอินพุทของวงจรในข้อ 2.1



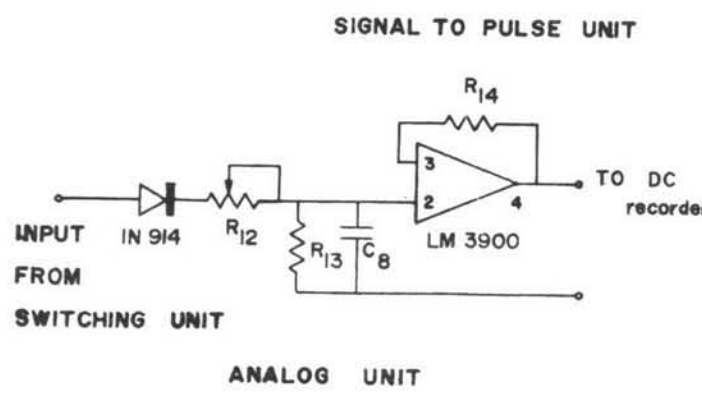
รูปที่ I9 แสดง block diagrams ของเครื่อง

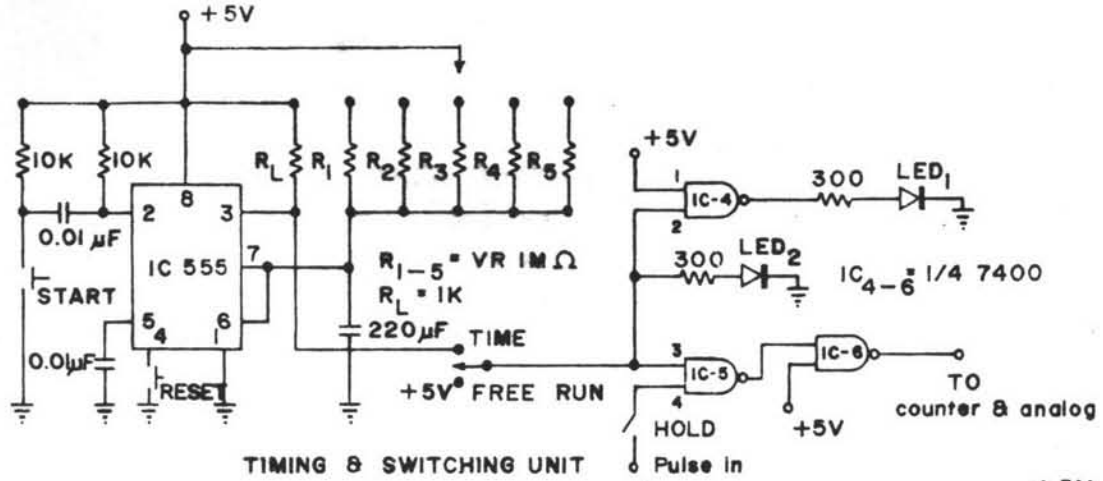


$R_1, R_3, R_4 = 1M\Omega$ $C_1, C_2 = 0.068\mu F$
 $R_2 = 20M\Omega$ $C_3, C_4, C_5, C_6 = 1\mu F$
 $R_5, R_6, R_7 = 150\Omega$ $C_7, C_7', C_7'', C_7''' = 1\mu F$
 $R_8, R_8', R_8'', R_8''' = 1K\Omega$
 $R_9, R_9', R_9'', R_9''' = 2.7K\Omega$
 $R_{10} = 10K\Omega$
 $R_{11} = 2.7K\Omega$
 $D_1, D_2 = IN 914$
 ALL TR = 2SC 458
 IC-1, IC-2, IC-3 = 1/6 CD 4049

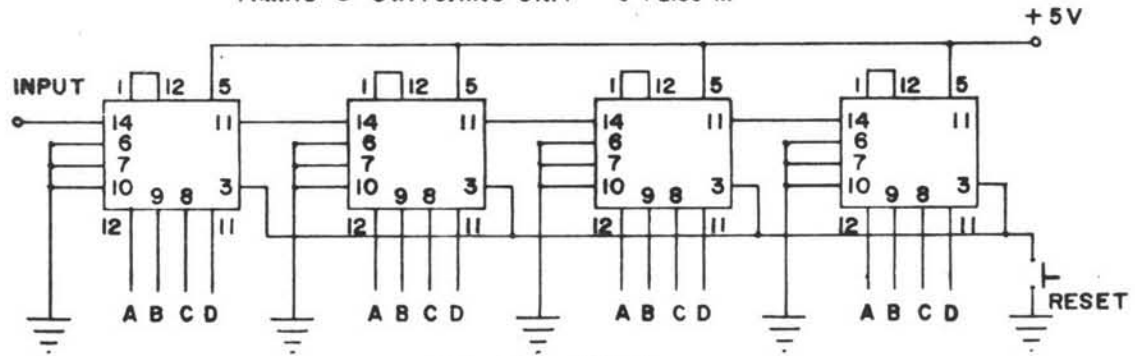


$R_{12} = VR 100K\Omega$
 $R_{13}, R_{14} = 1M\Omega$
 $C = 50\mu F$

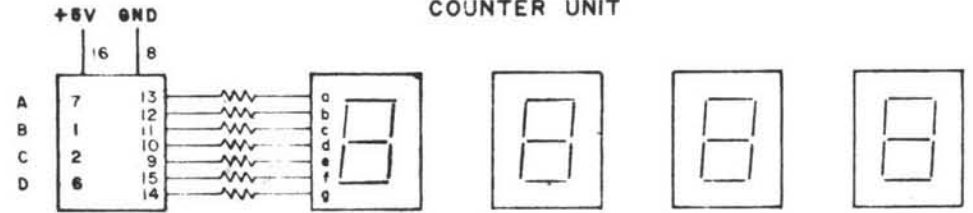




TIMING & SWITCHING UNIT

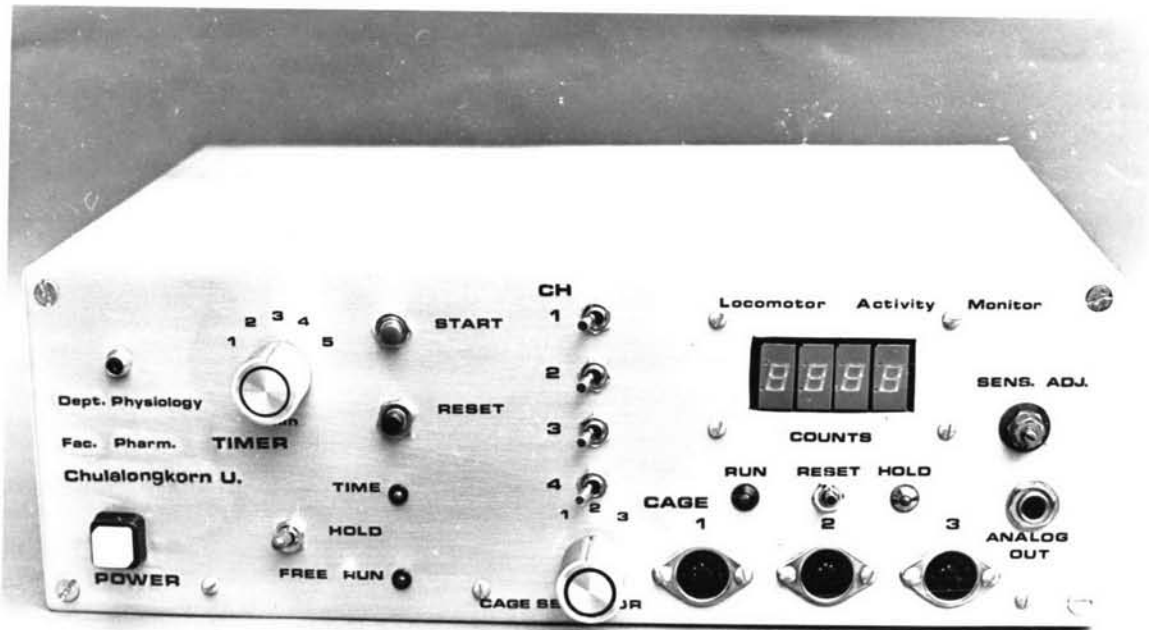


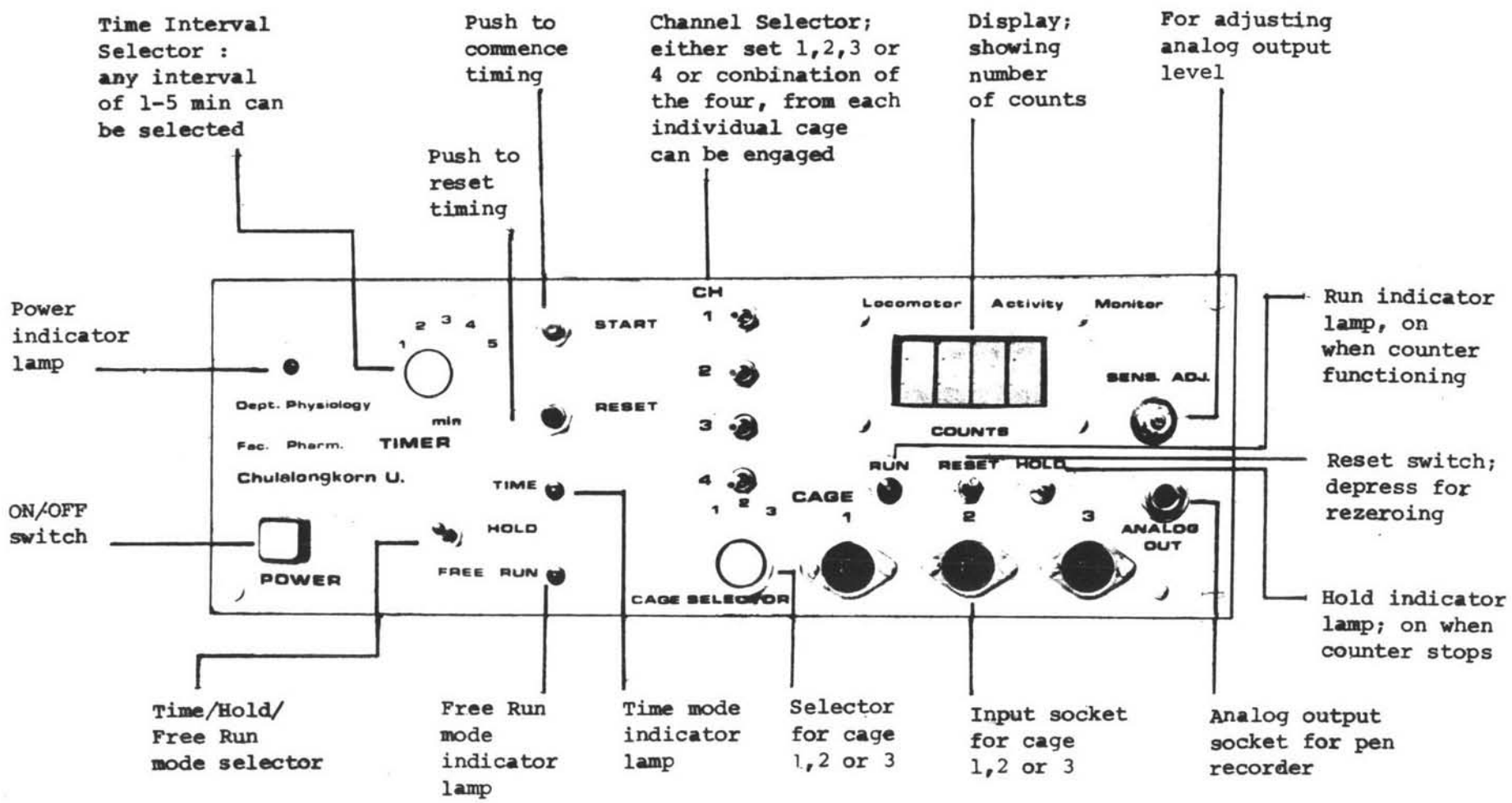
ALL IC = 7490
COUNTER UNIT



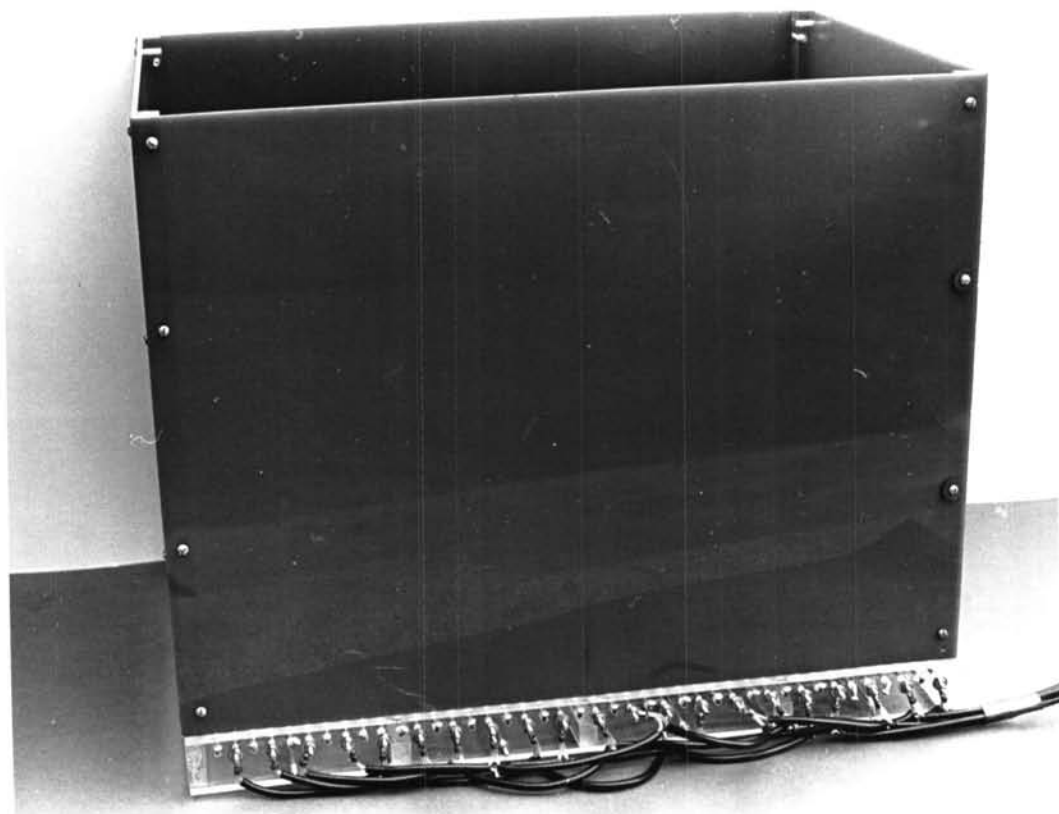
IC = 7447 ALL R = 300Ω
DIGITAL DISPLAY UNIT

Figure 10: A digital counter and display circuit.





รูปที่ 21 แสดงรูปถ่ายของเครื่อง



รูปที่ 22 แสดงรูปถ่ายของกรง